

ՀԱՅԿԱԿԱՆ ՍՍՀ
ԳԻՏՈՒԹՅՈՒՆՆԵՐԻ ԱԿԱԴԵՄԻԱՅԻ

ՏԵԴԵԿԱԳԻՐ
ИЗВЕСТИЯ

АКАДЕМИИ НАУК АРМЯНСКОЙ ССР

ՏԵԽՆԻԿԱԿԱՆ ԳԻՏՈՒԹՅՈՒՆՆԵՐԻ ՍԵՐԻԱ
СЕРИЯ ТЕХНИЧЕСКИХ НАУК

$$\tau_{\text{окт}} = \frac{1}{3} \sqrt{(\sigma_z - \sigma_y)^2 + (\sigma_y - \sigma_x)^2 + (\sigma_x - \sigma_z)^2}.$$

При $\sigma_x = 0$

$$\tau_{\text{окт}} = \frac{1}{3} \sqrt{(\sigma_z - \sigma_y)^2 + \sigma_y^2 + \sigma_z^2},$$

где σ_x, σ_y — главные нормальные напряжения и определяются по [1]:

$$\sigma_x = \frac{P_x \cos \gamma}{ab \xi_b (\xi - \sin \gamma)};$$

$$\sigma_y = \frac{P_y \cos \gamma}{ab \xi_b (\xi - \sin \gamma)};$$

$$\xi = \xi_1 \frac{b}{b_1}; \quad \xi_1 = \frac{b_1}{b};$$

ξ_1 — предел текучести на сдвиг наклепанного металла, действующий вдоль поверхности FF (рис. 1), и определяется по формуле:

$$\xi_1 = K + \frac{K}{2};$$

K — предел текучести на сдвиг вдоль поверхности AB .

$$\varepsilon_{\text{окт}} = \frac{2}{3} \sqrt{(\varepsilon_1 - \varepsilon_2)^2 + (\varepsilon_2 - \varepsilon_3)^2 + (\varepsilon_3 - \varepsilon_1)^2}$$

— октаэдрический сдвиг [2]:

$$\varepsilon_1 = \frac{1}{E} (\sigma_x - \mu \sigma_y); \quad \varepsilon_2 = \frac{1}{E} (\sigma_y - \mu \sigma_x); \quad \varepsilon_3 = -\frac{1}{E} \mu (\sigma_x + \sigma_y);$$

$\varepsilon_{\text{сд}}$ — деформация сдвига, определяемая по формуле [3]:

$$\varepsilon_{\text{сд}} = \text{ctg } \beta_1 + \text{tg } (\beta_1 - \gamma).$$

Кроме вышеуказанной формулы, $\tau_{\text{окт}}$ можно определить и по формуле

$$\tau_{\text{окт}} = K - \frac{K}{2}.$$

Подставляя значения τ_0 и $\tau_{\text{окт}}$ в (1), получим

$$\frac{m}{K} = \frac{1}{\varepsilon_{\text{сд}} - \varepsilon_{\text{окт}}}. \quad (2)$$

Чем меньше эта величина, тем тоньше стружка и тем меньше ее объемная деформация. Следовательно, увеличивается стойкость резца, уменьшаются силы резания и вероятность трещинообразования в материале в зоне режущей кромки, при этом улучшается также чистота поверхности, и, по-видимому, отношение m/K можно считать характе-

ристикой обрабатываемости. Но определить величину m/K при таких больших скоростях деформирования, которые существуют при резании, пока не представляется возможным [4]. Однако, в первом приближении можно допустить, что материалу, имеющему меньшую величину m/K , будет соответствовать меньшая объемная деформация при больших скоростях деформации. Этот показатель может являться проверкой оптимальности режимного поля, так как он связан с состоянием поверхности резания, а также со стойкостью инструмента.

Таким образом, отношение m/K можно считать новым критерием оптимизации режимов резания, наравне с объемной деформацией стружки.

Наша задача заключается не только в оптимизации процесса резания, но и в нахождении взаимосвязи между m/K и δ_u .

Исходя из этого, проведена серия опытов по факторному планированию экспериментов типа 3^3 для установления зависимостей:

$$\frac{m}{K} = f_1(v, s, t); \quad \delta_u = f_2(v, s, t).$$

Значение полной объемной деформации δ_u определяется по формуле [2]:

$$\delta_u = \delta_{сж} + \epsilon_0,$$

где $\delta_{сж}$ — определяется выражением [5]

$$\delta_{сж} = \sqrt{0,67 (\delta_l^2 + \delta_a^2 + \delta_b^2)},$$

$$\text{где } \delta_l = \ln(1 + \Delta l); \quad \Delta l = \frac{l}{l_1};$$

$$\delta_a = \ln(1 + \Delta a); \quad \Delta a = \frac{a_1}{a};$$

$$\delta_b = \ln(1 + \Delta b); \quad \Delta b = \frac{b_1}{b};$$

l — длина среза, мм; l_1 — длина стружки, мм; a_1 — толщина стружки, мм; b_1 — ширина стружки, мм; $\epsilon_0 = 3\alpha\theta$ — температурная деформация стружки [6]; α — коэффициент температурного расширения материала, $1/\text{град}$; θ — температура резания, град.

Опыты проводились при фрезеровании цветных металлов ЛС59-1 и Д16 режущими пластинками из СК. План проведения экспериментов и их результаты приведены в табл. 1, согласно которой и составляется математическая модель отношения m/K , а также полной объемной деформации δ_u в зависимости от режимов резания:

$$\frac{m}{K} = C_1 v^{x_1} s^{x_2} t^{x_3}; \quad \delta_u = C_2 v^{x_4} s^{x_5} t^{x_6}. \quad (3)$$

При этом уравнения регрессии имеют вид:

$$\ln \frac{m}{K} = y_1 = b_0 + b_1 x_1 + b_2 x_2 + b_3 x_3 + b_{12} x_1 x_2 + b_{13} x_1 x_3 + \\ + b_{23} x_2 x_3 + b_{123} x_1 x_2 x_3.$$

$$\ln \hat{v}_u = y_2 = B_0 + B_1 x_1 + B_2 x_2 + B_3 x_3 + B_{12} x_1 x_2 + B_{13} x_1 x_3 + \\ + B_{23} x_2 x_3 + B_{123} x_1 x_2 x_3. \quad (4)$$

Для определения показателей степеней и коэффициентов уравнений (3) составляется матрица планирования с учетом того, что в матрице минимальному значению параметра соответствует «-1», среднему значению — «0», и максимальному — «+1».

Таблица 1

№ п/п	v , м/мин	s , мм/об	t , мм	Материал — ЛС 59-1				Материал — Д16			
				\hat{v}_u	m	K	m/K	\hat{v}_u	m	K	m/K
1	88	0,007	0,200	2,55	182,10	356,92	0,510	3,22	16,29	79,66	0,204
2	250	0,007	0,020	2,50	102,27	286,37	0,357	3,77	8,15	32,68	0,249
3	703	0,007	0,063	2,48	72,00	139,68	0,515	3,22	6,03	27,32	0,221
4	88	0,022	0,020	2,33	130,97	275,03	0,476	3,43	5,98	34,50	0,173
5	250	0,022	0,063	1,83	54,13	115,84	0,467	2,40	21,85	58,34	0,374
6	703	0,022	0,200	1,76	57,93	163,94	0,353	2,10	30,00	81,32	0,369
7	88	0,070	0,063	1,64	71,37	146,31	0,488	2,01	25,01	65,28	0,383
8	250	0,070	0,200	1,28	45,61	127,72	0,357	1,56	48,83	109,88	0,444
9	703	0,070	0,020	1,27	158,41	343,74	0,461	1,17	15,59	37,72	0,413

Определение коэффициентов полиномов (4) дает возможность с помощью уравнения преобразования [7]

$$x_i = \frac{2(\ln T_i - \ln T_{\max})}{\ln T_{\max} - \ln T_{\min}} + 1$$

составить таблицу 2, где приведены все значения неизвестных показателей и коэффициентов уравнений (3).

Таблица 2

Материал	C_1	C_2	x_1	x_2	x_3	x_4	x_5	x_6
Д16	0,67	1,567	0,20	0,41	0,10	-0,10	-0,22	-0,05
ЛС59-1	0,59	1,221	0,17	0,35	0,12	-0,18	-0,18	-0,07

Применяя линейное программирование для уравнений (3) с учетом ограничения режимов резания, можно составить программу для ЭВМ и определить оптимальные значения режимного поля при обработке вышеупомянутых материалов.

$$\begin{aligned}
 y_1 &= 0,67 + 0,2z_1 + 0,41z_2 + 0,1z_3 \rightarrow \min \\
 y_2 &= 1,567 - 0,1z_1 - 0,22z_2 - 0,05z_3 = \ln 1,0 \\
 z_1 &\geq \ln 88 \\
 z_1 &\leq \ln 703 \\
 z_2 &\geq \ln 0,007 \\
 z_2 &\leq \ln 0,07 \\
 z_3 &\geq \ln 0,063 \\
 z_3 &\leq \ln 0,2
 \end{aligned}$$

Аналогично можно составить программу и для материала ЛС59-1.

Решение систем линейных неравенств на ЭВМ дает оптимальные значения v , s , t , приведенные в табл. 3.

Таблица 3

Материал	Оптимальные параметры режимов резания		
	v , м/мин	s , мм/об	t , мм
Д16	260	0,007	0,11
ЛС59-1	250	0,007	0,05

Подставляя в (3) оптимальные параметры режимов резания, получаем следующие взаимосвязи между m/K и δ_a :

$$\text{для ЛС59-1} \quad \frac{m}{K} = 0,20\delta_a^{0,4},$$

$$\text{для Д16} \quad \frac{m}{K} = 0,13\delta_a^{0,4},$$

которые показывают, что чем меньше δ_a , тем меньше отношение m/K , что и приводит к хорошей обрабатываемости.

Можно ожидать, что при обработке большими силами резания и большими толщинами стружек будут соответствовать материалам, для которых значения величины m/K больше. С увеличением m/K увеличивается шероховатость поверхности (R_a), а это приводит к ухудшению качества обработанной поверхности, следовательно, величина m/K связана с R_a .

Таким образом, теория стружкообразования, учитывающая переменность m/K , позволяет качественно оценить влияние варьирования v , s , t на δ_a или на форму образованной стружки.

Так как параметры m/K и δ_a являются характеристиками свойства материала, то при оценке обрабатываемости этими параметрами не будет учтено влияние на обрабатываемость твердых включений и различных добавок, вводимых в Д16 и ЛС59-1 с целью улучшения обрабатываемости путем изменения условий трения на поверхности

контакта резец-стружка. По m/K , δ_0 непосредственно связаны с процессом резания и следует ожидать, что они являются лучшими характеристиками обрабатываемости, чем твердость или сопротивление при разрыве.

Отсюда следует, что более полное представление об обрабатываемости материала дает m/K или δ_0 . Большим значением m/K или δ_0 соответствуют стружки надлома с большей толщиной и низким качеством обработанной поверхности. Если к тому же величина l большая, то тогда силы, действующие на резец, велики, что ведет к уменьшению стойкости резца. Меньшие значения параметров δ_0 и m/K характерны для сливных стружек, меньших сил резания и хорошего качества обработанной поверхности.

Итак, вышесказанное позволяет сделать вывод, что по объемной деформации можно судить об обрабатываемости.

ЕрПИ им. К. Маркса

Поступила 22.IV.1977

Մ. Վ. ԿԱՏՅԱՆ, Ն. Բ. ԲԱԶԳՅԱՆՔՅԱՆ, Ա. Մ. ԱՐՁՈՒՄԱՆՅԱՆ

ՏԱՇԵՂԻ ՄԱՎԱԼԱՅԻՆ ԴԵՖՈՐՄԱՑԻԱՆ ՈՐՊԵՍ ՄՇԱԿԵԼԻՌԻԹՅԱՆ ՈՐՈՇՄԱՆ ՑՈՒՑԱՆԻՇ

Ա մ փ ա փ ա լ մ

Հոգվածում ցույց է տրված, որ երբ փոքրանում է կտրման արագությունը կամ մեծանում է կտրման խորությունը հնարավոր է դառնում անընդհատ տաշեղի վերածուր ջարդոնային տաշեղի, առաջացնելով կոնտակտի շրջանում ճաքեր: Բացի դրանից, ցույց է տրված, որ տաշեղի ձևը հիմնականում կախված է m և K մեծություններից: Փորձերով հաստատված է, որ որքան փոքր է m/K հարաբերությունը, այնքան բարակ է տաշեղը և այնքան փոքր է նրա ծավալային դեֆորմացիան: Հետևաբար, դրանից կախված, մեծանում է կտրիչի կայունությունը, կտրման ուժը և ճաքազոյացման հավանականությունը փոքրանում է և մակերևույթը ստացվում է անհամեմատ մաքուր: Հեղինակները հանգում են այն եզրակացությանը, որ m/K հարաբերությունը կարելի է ընդունել որպես մշակելիության բնութագիր, ինչպես նաև նոր միջոց՝ կտրման օպտիմալ ուժի մեծության որոշման համար: Բացի դրանից, գտնված է փոխադարձ կապ ծավալային դեֆորմացիայի (δ_0) և m/K հարաբերության միջև, որը հնարավոր է դառնի զծային ծրագրավորման եղանակի օգտագործմամբ:

Այսպիսով հաստատվել է, որ տաշեղի ծավալային դեֆորմացիայի միջոցով կարելի է դառնել կտրման մշակելիության մասին:

Л И Т Е Р А Т У Р А

1. Лолодзе Т. Н. Стружкообразование при резании металлов, Машино, 1952.
2. Арутюнян Г. А., Багдасарян Г. Б. Влияние скорости деформации на усадку снимаемого слоя при строгании. Сборник научных трудов ЕрПИ, том 24, 1972, изд-во «Айастан».

3. Зорев Н. Н. Вопросы механики процесса резания металлов. Машгиз, 1956.
4. Enahoro H. F., Welsh M. I. M. The relevance of the mechanics of metal cutting to machinability. Machinability. London. Iron and Steel Inst., 1967, 19—24. Discuss, 55—63.
5. Беспрозванный И. М. Основы теории резания металлов. Машгиз, 1948.
6. Работнов А. Н. Сопротивление материалов. Физматгиз, 1962.
7. Касьян М. В., Багдасарян Г. Б., Арутюнян Г. А. Методы планирования экспериментов в области резания металлов и математической обработки результатов. Изд. «Айастан», Ереван, 1976.

Г. Г. АДОЦ

ИССЛЕДОВАНИЯ АЛГОРИТМОВ РЕШЕНИЯ УРАВНЕНИЙ
 УСТАНОВИВШЕГОСЯ РЕЖИМА ЭЛЕКТРИЧЕСКОЙ СИСТЕМЫ

Уравнения установившегося режима электрической системы, записанные в приращениях параметров режима, имеют вид:

$$\begin{aligned} \Delta P_m &= \sum_{\omega} \frac{\partial P_m}{\partial s_{\omega}} \Delta s_{\omega} + \sum_{\omega} \frac{\partial P_m}{\partial U_{\omega}} \Delta U_{\omega}; \\ \Delta Q_m &= \sum_{\omega} \frac{\partial Q_m}{\partial s_{\omega}} \Delta s_{\omega} + \sum_{\omega} \frac{\partial Q_m}{\partial U_{\omega}} \Delta U_{\omega}, \end{aligned} \quad (1)$$

где m — индекс узла системы;

ω — индекс узлов ветвей, исходящих из узла m ;

$s_{\omega} = \sin \psi_{\omega}$ — синус фазы комплексного напряжения узла ω ;

U_{ω} — модуль того же напряжения;

$\Delta s_{\omega}, \Delta U_{\omega}$ — приращения параметров режима в двух последовательных шагах итерации;

P_m, Q_m — активная и реактивная мощности узла m .

Первое из уравнений (1) записывается для узлов с искомыми параметрами s , второе — для узлов с искомыми параметрами U . Один из узлов схемы выделяется в качестве узла баланса мощностей, для которого задаются s_b и U_b и принимаются искомыми P_b и Q_b .

Величины ΔP_m и ΔQ_m определяются по формулам:

$$\begin{aligned} \Delta P_m &= P_m^* - P_m^i = P_m^* - U_m^2 g_{mm} - U_m \sum_{\omega} U_{\omega} \alpha_{m\omega}; \\ \Delta Q_m &= Q_m^* - Q_m^i = Q_m^* - U_m^2 b_{mm} - U_m \sum_{\omega} U_{\omega} \beta_{m\omega}, \end{aligned} \quad (2)$$

где P_m^*, Q_m^* — заданные мощности узла m ;

$$\alpha_{m\omega} = g_{m\omega} \cos(\psi_m - \psi_{\omega}) - b_{m\omega} \sin(\psi_m - \psi_{\omega}); \quad (3)$$

$$\beta_{m\omega} = g_{m\omega} \sin(\psi_m - \psi_{\omega}) + b_{m\omega} \cos(\psi_m - \psi_{\omega});$$

где $g_{m\omega}, b_{m\omega}$ — активная и реактивная проводимости ветви между узлами m и ω ;

i — индекс шага итерации.

Взамен уравнений (1) предлагаются [1] следующие уравнения установившегося режима электрической системы:

$$\begin{aligned}\Delta P_m &= \sum_{\omega} \frac{\partial P_m}{\partial S_{m\omega}} \Delta S_{m\omega} + \sum_{\omega} \frac{\partial P_m}{\partial U_{\omega}} \Delta U_{\omega}; \\ \Delta Q_m &= \sum_{\omega} \frac{\partial Q_m}{\partial S_{m\omega}} \Delta S_{m\omega} + \sum_{\omega} \frac{\partial Q_m}{\partial U_{\omega}} \Delta U_{\omega}; \\ \Delta F_k &= \sum_{\omega} \frac{1}{C_{m\omega}} \Delta S_{m\omega} = 0,\end{aligned}\quad (4)$$

где

$$S_{m\omega} = \sin(\psi_m - \psi_{\omega}); \quad \Delta S_{m\omega} = \sin(\psi_m - \psi_{\omega})^{i+1} - \sin(\psi_m - \psi_{\omega})^i;$$

k — индекс независимого контура схемы замещения системы. Число контуров, а следовательно, последних уравнений (4) равно числу ветвей схемы минус число узлов плюс единица, т. е.

$$k = b - y + 1 \quad (5)$$

(b , y — число ветвей и узлов схемы).

Целью статьи является изложение результатов исследований алгоритмов решения уравнений (1) и (4) методом Гаусса при использовании принципа Зейделя для случаев открытых (неэквивалентированных) схем и многополюсников (эквивалентированных схем).

Алгоритм решения уравнений (1) или (4) сводится к следующим процедурам:

а) по заданным P_m^* , Q_m^* и первым приближениям U^{i-1} , S_{ω}^{i-1} (или $S_{m\omega}^{i-1}$) вычисляются ΔP_m^{i-1} , ΔQ_m^{i-1} и частные производные, входящие в уравнения;

б) решаются уравнения (1) относительно ΔS_{ω}^{i-2} , ΔU_{ω}^{i-2} или уравнения (4) относительно $\Delta S_{m\omega}^{i-2}$, ΔU_{ω}^{i-2} ;

в) по найденным ΔS_{ω}^{i-2} , ΔU_{ω}^{i-2} и величинам S_{ω}^{i-1} , U_{ω}^{i-1} определяются значения искомых переменных для второго шага итерации:

$$\begin{aligned}S_{\omega}^{i-2} &= S_{\omega}^{i-1} + \Delta S_{\omega}^{i-2}, \\ U_{\omega}^{i-2} &= U_{\omega}^{i-1} + \Delta U_{\omega}^{i-2}, \\ S_{m\omega}^{i-2} &= S_{m\omega}^{i-1} + \Delta S_{m\omega}^{i-2};\end{aligned}\quad (6)$$

г) по полученным S и U вычисляются ΔP_m^{i-2} , ΔQ_m^{i-2} и т. д.;

д) итерация завершается по достижению допустимых значений ΔP_m , ΔQ_m .

Задачами исследований являлись:

1. Установление возможности и порядка применения принципа Зейделя в процессе решения уравнений (1) и (4);
2. Установление возможности исключения из систем (1) и (4) отдельных слагаемых или группы слагаемых;

3. Обеспечение сходимости итерации при решении уравнений открытых и эквивалентных схем.

Введем следующие сокращенные формы записей:

$P'_i(s^i, U^i)$ — матрица частных производных $\frac{\partial P_i}{\partial s}$ и функции s^i и U^i , полученных в i -м шаге итерации;

$P''_i(s^i, U^i)$ — матрица частных производных $\frac{\partial^2 P_i}{\partial U^2}$;

$Q'_i(s^i, U^i)$ — то же $\frac{\partial Q_i}{\partial U}$;

$Q''_i(s^i, U^i)$ — то же $\frac{\partial^2 Q_i}{\partial s^2}$.

Для значений s и U в следующем шаге итерации используется первый индекс $i+1$. Критериями завершения итерации служили достижения величин

$$\Delta P''_i = 10^{-1}; \quad \Delta Q''_i = 10^{-1}.$$

Принцип Зейделя был применен в нескольких вариантах решения уравнений (1) и (4).

Путем машинного эксперимента, выполненного на примере одной тестовой задачи — схемы замещения системы с 51 ветвью и 46 узлами — были получены следующие результаты.

Сходимость итерации с заданной точностью обеспечивается за 7 шагов в следующих четырех вариантах решения уравнений (4) методом Гаусса с использованием принципа Зейделя.

В а р и а н т 1

$$\begin{aligned} P'_i(s^i, U^i) \Delta s^{i+1} &= \Delta P(s^i, U^i); \\ Q'_i(s^{i+1}, U^i) \Delta s^{i+1} &= \Delta Q(s^{i+1}, U^i). \end{aligned} \quad (7)$$

В этом варианте решается сначала система первых уравнений (1) или (4). По полученным Δs^{i+1} определяются s^{i+1} , которые затем используются при решении системы вторых уравнений (1) или (4). Третья строчка уравнений (4) решается совместно с первыми уравнениями. Из (7) видно, что в этом варианте решения пренебрегаются слагаемые $P''_i \Delta s$ и $Q''_i \Delta s$.

В а р и а н т 3

$$\begin{aligned} P'_i(s^i, U^i) \Delta s^{i+1} &= \Delta P(s^i, U^i); \\ Q'_i(s^i, U^i) \Delta U^{i+1} &= \Delta Q(s^i, U^i) - Q''_i(s^i, U^i) \Delta s^{i+1}. \end{aligned} \quad (8)$$

В этом варианте, как и в 1-ом, сначала решаются уравнения группы ΔP , затем — группы ΔQ . Принцип Зейделя в этом варианте используется только при определении слагаемых $Q'_i(s^i, U^i) \Delta s^{i+1}$.

Вариант 9

$$\begin{aligned} Q'_u(s^i, U^i) \Delta U^{i+1} &= \Delta Q(s^i, U^i); \\ P'_s(s^i, U^{i+1}) \Delta s^{i+1} &= \Delta P(s^i, U^{i+1}). \end{aligned} \quad (9)$$

Здесь принцип Зейделя используется в отношении вектора U , а отличие от 1-го варианта, в котором принцип Зейделя используется в отношении вектора S . Кроме того, в этом варианте пренебрегаются слагаемые $Q'_s \Delta s$ и $P'_u \Delta u$.

Вариант 14

$$\begin{aligned} Q'_u(s^i, U^i) \Delta u^{i+1} &= \Delta Q(s^i, U^i); \\ P'_s(s^i, U^i) \Delta s^{i+1} &= \Delta P(s^i, U^i) - P'_u(s^i, U^i) \Delta u^{i+1}. \end{aligned} \quad (10)$$

В этом варианте принцип Зейделя используется в отношении вектора ΔU . Сходимость итерации с заданной точностью обеспечивается за 11 шагов в следующих вариантах решения уравнений (1) и (4).

Вариант 2

$$\begin{aligned} P'_s(s^i, U^i) \Delta s^{i+1} &= \Delta P(s^i, U^i); \\ Q'_u(s^i, U^i) \Delta u^{i+1} &= \Delta Q(s^i, U^i). \end{aligned} \quad (11)$$

Уравнения (11) отличаются от (7) тем, что в них не используется принцип Зейделя.

Вариант 5

$$\begin{aligned} Q'_u(s^i, U^i) \Delta u^{i+1} &= \Delta Q(s^i, U^i); \\ P'_s(s^i, U^{i+1}) \Delta s^{i+1} &= \Delta P(s^i, U^{i+1}) - P'_u(s^i, U^{i+1}) \Delta u^{i+1}. \end{aligned} \quad (12)$$

В уравнениях (12) используется принцип Зейделя в отношении вектора U . Пренебрегаются лишь слагаемые $Q'_s \Delta s$.

Вариант 15

$$\begin{aligned} P'_s(s^i, U^i) \Delta s^{i+1} &= \Delta P(s^i, U^i) - P'_u(s^i, U^i) \Delta u^i; \\ Q'_u(s^{i-1}, U^i) \Delta u^{i+1} &= \Delta Q(s^{i+1}, U^i). \end{aligned} \quad (13)$$

Здесь используется принцип Зейделя в отношении вектора s и пренебрегаются слагаемые $Q'_s \Delta s$.

Отметим варианты алгоритма, приводящие к расходимости итерации.

Вариант 7

$$\begin{aligned} Q'_u(s^i, U^i) \Delta u^{i+1} &= \Delta Q(s^i, U^i) - Q'_s(s^i, U^i) \Delta s^i; \\ P'_s(s^i, U^{i+1}) \Delta s^{i+1} &= \Delta P(s^i, U^{i+1}) - P'_u(s^i, U^{i+1}) \Delta u^{i+1}. \end{aligned} \quad (14)$$

Здесь принцип Зейделя используется в отношении вектора U . Слагаемые $Q'_a \Delta s$ и $P'_a \Delta u$ учитываются в расчетных уравнениях.

Вариант 16

$$\begin{aligned} P'_a(s^i, U^i) \Delta s^{i+1} &= \Delta P(s^i, U^i) - P'_a(s^i, U^i) \Delta u^i; \\ Q'_a(s^{i+1}, U^i) \Delta u^{i+1} &= \Delta Q(s^{i+1}, U^i) - Q'_a(s^{i+1}, U^i) \Delta s^{i+1}. \end{aligned} \quad (15)$$

В приводимых ниже уравнениях варианта 18 сходимость итерации обеспечивается за 19 шагов.

$$\begin{aligned} P'_a(s^i, U^i) \Delta s^{i+1} &= \Delta P(s^i, U^i) - P'_a(s^i, U^i) \Delta U^i; \\ Q'_a(s^i, U^i) \Delta u^{i+1} &= \Delta Q(s^i, U^i) - Q'_a(s^i, U^i) \Delta s^{i+1}. \end{aligned} \quad (16)$$

В уравнениях (16) принцип Зейделя используется только в отношении вектора Δs .

Из всех исследованных 18 вариантов алгоритма для открытых схем наиболее эффективными оказались варианты: 1; 3; 9; 14, — представленные уравнениями (7) ÷ (10).

Были выполнены исследования тех же вариантов алгоритмов для эквивалентной схемы, полученной путем исключения сетевых узлов $n=16$ и доведенной до $n=28$ (общее число генераторных и нагрузочных узлов).

Наиболее эффективным в этом случае оказался вариант 1, представленный уравнениями (7).

Из сопоставления уравнений (1) и (4) видно, что уравнения (1) могут быть использованы для открытых и закрытых схем, а уравнения (4) — только для открытых схем.

Для обеспечения сходимости итерации при решении уравнений (1) рекомендуется применение методики поворота векторов комплексных напряжений всех узлов (включая узел баланса мощностей) после каждого шага итерации. Для этой цели используется формула:

$$s^{i+1, m} = s_m^i c_{cp}^i - s_{cp}^i c_m^i, \quad (17)$$

где

$$s_{cp}^i = \sin \psi_{cp}^i; \quad \psi_{cp}^i = \frac{1}{2} (\psi_{\max}^i + \psi_{\min}^i); \quad c = \sqrt{1-s^2};$$

$i, i+1$ — индексы шага итерации;

$\psi_{\max}^i, \psi_{\min}^i$ — максимальное и минимальное значения фаз комплексных напряжений в i -м шаге итерации;

$i+1, \Pi$ — индекс величины s после поворота векторов;

m — индекс всех узлов схемы замещения системы.

Выводы

1. Взамен решения уравнений (1) и (4) рекомендуется решение уравнений (7) для эквивалентных схем и уравнений (7) ÷ (10) для открытых (неэквивалентных) схем.

2. В уравнениях (7) ÷ (10) используется принцип Зейделя и отношения векторов, соответственно, s ; Δs ; U ; ΔU .

3. Для обеспечения сходимости итерации при решении уравнений эквивалентных схем рекомендуется процедура поворота векторов U по формуле (17).

АрмНИИЭ

Поступила 17.VI.1977

Հ. Տ. ԱՄԻՆՅԱՆ

ԷԼԵԿՏՐԱԿԱՆ ՀԱՄԱԿԱՐԴԻ ՀԱՍՏԱՏՈՒՆ ՌԵԺԻՄՆԵՐԻ ՀԱՂԱՍԱՐՈՒՄՆԵՐԻ ԼՈՒԾՄԱՆ ԱԼԳՈՐԻԹՄՆԵՐԻ ՀԵՏԱԶՈՏՈՒԹՅՈՒՆՆԵՐ

Ա Վ Փ Ո Ւ Փ Ո Ւ Փ

Հաստատուն սեփմաների հաճախարումները ներկայացվում են (1) և (4) տեսքով:

Այդ հաճախարումների փոխարենն առաջարկվում է համարժեքացված սխեմաների համար լուծել (7) հաճախարումը, իսկ բաց (ուչ համարժեքացված) սխեմաների համար՝ (7) ÷ (10) հաճախարումները: Դրանց լուծման համար օգտագործվում է Զեյդելի սկզբունքը S , Δs , U , ΔU -ի նկատմամբ:

Լ Ի Տ Ե Ր Ա Տ Ր Ա Ր Ա

1. Адоиц Г.Т. Метод расчета модулей и синусов разности фаз напряжений узлов схемы. Сборник «Исследование решения на ЦВМ уравнений установившегося режима электрических система», АрмНИИЭ, 1976.



СТРОИТЕЛЬНАЯ МЕХАНИКА

М. А. ЗАДОЯН

ОБ ОДНОЙ ВАРИАЦИОННОЙ ЗАДАЧЕ О ПРИЖАТИИ СЛОЯ
К ОСНОВАНИЮ ПРИ УЧЕТЕ РЕОЛОГИЧЕСКИХ
СВОЙСТВ МАТЕРИАЛОВ

Приводится приложение вариационных методов теории ползучести и пластичности к плоской и осесимметричной задачам о прижатии сосредоточенной силой полосы из упруго-ползучего и пластически упрочняющегося материала к упруго-ползучему основанию. Контакт между слоем и основанием считается без сцепления с неизвестными и переменными во времени границами. Материал основания считается упруго-ползучим, подчиняющимся уравнениям наследственной теории ползучести Маслова-Арутюняна [1]. Для слоя рассматриваются два случая: в первом—слой считается бетонным с двусторонними симметричными тонкими усиливающими покрытиями из линейно-упругих материалов, а во втором случае слой считается изготовленным из пластического материала со степенным законом упрочнения.

Вопросы контактных напряжений при ползучести и пластичности исследованы в работах [2—17] и др. В книгах [4, 12, 16] приведены библиография и анализ работ в области контактных напряжений при ползучести и пластичности.

В настоящей статье проявляется интерес преимущественно к прикладной стороне вопроса, а именно, к развитию приближенных методов расчета, в частности, приложению вариационных методов к решению контактных задач теории ползучести и пластичности. С целью изучения качественной стороны вопроса в работе принят параболический закон для прогиба слоя, хотя это приближение не позволяет полностью учитывать влияние изменения размеров контакта [18].

В монографии Ю. Н. Работнова [16] содержится развитие приближенных методов расчета, основанное на вариационных уравнениях для задачи об изгибе однородной балки на винклеровском основании с учетом наследственных свойств материалов. В монографии Т. Ш. Ширинкулова [12], наряду с герцовскими задачами, развита методика расчета бетонных плит на упруго-ползучем основании с использованием ортогональных полиномов. В статье Л. М. Гайтовой [17] дан вариационный метод расчета упруго-ползучей трехслойной плиты на упруго-ползучем винклеровском основании.

§ 1. Плоская задача

1°. Пусть слой шириной единица (балочная плита) и высотой h прижимается без сцепления сосредоточенной силой $P(t)$ к основанию, занимающему нижнюю полуплоскость (рис. 1). Материал основания (грунт, бетон и др.) обладает свойством наследственной ползучести [1]. Длину контакта, меняющуюся во времени, обозначим $2a(t)$, а реактивное давление $p(x, t)$.

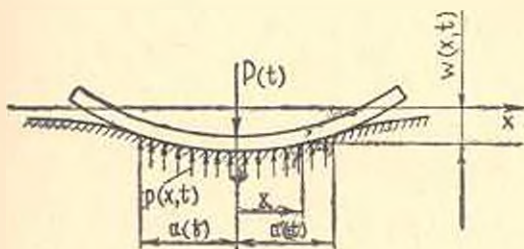


Рис. 1.

Перемещение основания в точках контакта определяется по формулам [10]:

$$w(x, t) = \frac{2(1-\nu_0^2)}{\pi E_0(t)} \left[w(x, t) + \int_{-a(t)}^{a(t)} w(x, \tau) K_0(t, \tau) dz \right]; \quad (1.1)$$

$$w(x, t) = \int_{-a(t)}^{a(t)} p(\xi, t) \ln \frac{1}{|x - \xi|} d\xi \quad (1.2)$$

Здесь ν_0 и $E_0(t)$ — коэффициент Пуассона и модуль мгновенной деформации основания;

$$K_0(t, \tau) = -E_0(t) \frac{\partial}{\partial \tau} \left\{ \frac{1}{E_0(\tau)} + \nu_0(\tau) [1 - e^{-\lambda_0(t-\tau)}] \right\}; \quad (1.3)$$

где $\nu_0(\tau)$ — функция старения;

λ_0 — параметр, характеризующий ползучесть материала основания.

Для старого материала

$$\nu_0(\tau) = C_0, \quad E_0(t) = E_0$$

и

$$K_0(t, \tau) = \lambda_0 e^{-\lambda_0(t-\tau)}, \quad \lambda_0 = \gamma_0 E_0 C_0. \quad (1.4)$$

Реактивное давление из (1.2) представится в виде [19]

$$p(x, t) = -\frac{1}{\pi^2} \sqrt{a^2(t) - x^2} \int_{-a(t)}^{a(t)} \frac{1}{\sqrt{a^2(t) - \xi^2}} \frac{\partial w(\xi, t)}{\partial \xi} \frac{d\xi}{\xi - x}. \quad (1.5)$$

Имеем очевидное равенство

$$2 \int_0^{a(t)} p(\xi, t) d\xi = P(t). \quad (1.6)$$

Тогда, используя условие ограниченности напряжения на концах контакта, имеем

$$\int_{-a(t)}^{a(t)} \frac{\sigma_{xx}(\xi, t)}{d\xi} \frac{\xi d\xi}{\sqrt{a^2(t) - \xi^2}} = -\pi P(t). \quad (1.7)$$

Принимаем, что прогиб слоя (осадка основания) меняется по параболическому закону. Тогда можно положить

$$w(x, t) = v(t) - \psi(t) x^2, \quad (1.8)$$

где $v(t)$ и $\psi(t)$ — искомые функции времени.

Используя (1.8), из (1.5) и (1.7) находим

$$p(x, t) = \frac{2\psi(t)}{\pi} \sqrt{a^2(t) - x^2}, \quad (1.9)$$

где

$$\psi(t) = P(t) a^{-2}(t). \quad (1.10)$$

Вертикальное перемещение основания будет

$$w(x, t) = \frac{2(1 - \nu_0^2)}{\pi E_0(t)} [v_*(t) - \psi_*(t) x^2], \quad (1.11)$$

где индексом * обозначен интегральный оператор Вольтерра

$$\psi_*(t) = \psi(t) + \int_0^t \psi(\tau) K_0(t, \tau) d\tau. \quad (1.12)$$

Рассмотрим два вида слоя.

2°. Исследуем случай, когда слой изготовлен из бетона с симметричными тонкими усиливающими покрытиями. Толщина усиливающих слоев (Δ) по сравнению с толщиной бетонного слоя (h) считается малой.

Зависимость между изгибающим моментом и кривизной слоя имеет вид [20]

$$M(x, t) = B(t) \kappa(x, t) - \int_{\tau_0}^t B_0(\tau) \kappa(x, \tau) R(t, \tau) d\tau. \quad (1.13)$$

где

$$z(x, t) = -\frac{\partial^2 w}{\partial x^2}; \quad B(t) = B_0(t) \mu(t); \quad (1.14)$$

$$B_0(t) = \frac{E(t) h^3}{12(1-\nu^2)}; \quad \mu(t) = 1 + 6 \frac{1-\nu^2}{1-\nu_1^2} \frac{E_1 \Delta}{E(t) h};$$

E_1 и ν_1 — модуль упругости и коэффициент Пуассона материала усиливающих слоев; $E(t)$ — модуль мгновенной деформации бетона;

$$R(t, \tau) = \frac{E'(\tau)}{E(\tau)} + \gamma \varphi(\tau) E(\tau) - \frac{N(\tau)}{E(\tau)} \int_0^\tau E(z) \exp \left[- \int_0^z \gamma(z) dz \right] dz; \quad (1.15)$$

где

$$N(\tau) = \nu^2(\tau) - \gamma \eta(\tau) + \gamma \eta'(\tau); \quad \eta(\tau) = \gamma |1 + \varphi(\tau) E(\tau)|.$$

В случае старого бетона

$$\varphi(\tau) = C \quad \text{и} \quad E(t) = E,$$

тогда

$$R(t, \tau) = k e^{-\eta(t-\tau)}; \quad k = \gamma EC; \quad \eta = \gamma(1 + EC). \quad (1.16)$$

Напряжения в верхнем и нижнем покрытиях выражаются через кривизны соответственно формулами

$$\left. \begin{aligned} \sigma_1(x, t) \\ \sigma_2(x, t) \end{aligned} \right\} = \pm \frac{E_1 h}{2(1-\nu_1^2)} z(x, t). \quad (1.17)$$

Напряжение в бетонной части слоя определяется по формуле

$$\sigma(x, z, t) = \frac{E(t) z}{1-\nu^2} z(x, t) - \int_0^z \frac{E(\tau) z}{1-\nu^2} z(x, \tau) R(t, \tau) d\tau. \quad (1.18)$$

Согласно принципу возможных перемещений будем иметь

$$a \left[B_* - \int_{\tau_1}^t B_* R(t, \tau) d\tau \right] \delta x - \int_0^{a(t)} p(x, t) |\delta w(0, t) - \delta w(x, t)| dx = 0. \quad (1.19)$$

Здесь использовано равенство (1.6).

Подставляя (1.9) и (1.11) в (1.19) и производя выкладки, приходим к уравнению

$$\psi_*(t) - \int_0^t \psi_*(\tau) R_1(t, \tau) d\tau = \frac{P^*(t)}{B_*(t)} \psi^{-1/2}(t), \quad (1.20)$$

где

$$R_1(t, \tau) = \frac{E_0(t)}{E_0(\tau)} \frac{E(\tau)}{E(t)} \frac{R(t, \tau)}{\mu(t)}; \quad B_*(t) = \frac{64(1-\nu_0^2)}{\pi E_0(t)} B(t). \quad (1.21)$$

Учитывая выражения (1.12), из (1.20), применяя формулу о преобразовании двойного интеграла, приходим к нелинейному интегральному уравнению типа Вольтерра

$$\psi(t) + \int_0^t \psi(\tau) K_*(t, \tau) d\tau = \frac{P^{1/2}(t)}{B_*(t)} \gamma^{-1/2}(t), \quad (1.22)$$

где

$$K_*(t, \tau) = K_0(t, \tau) - R_1(t, \tau) - \int_0^t K_0(\xi, \tau) R_1(t, \xi) d\xi. \quad (1.23)$$

Для старых материалов

$$K_*(t, \tau) = A e^{-\psi(t-\tau)} + A_0 e^{-\gamma(t-\tau)}, \quad (1.24)$$

где

$$A = \frac{\lambda(\gamma_0 - \gamma)}{\mu(\gamma - \gamma_0)}; \quad A_0 = \gamma_0 \left[1 - \frac{\lambda}{\mu(\gamma - \gamma_0)} \right].$$

Для постоянной силы, вводя обозначения:

$$a(t) = a_0 f(t); \quad a_0 = h \sqrt[3]{\frac{16}{3\pi} \frac{1-\gamma_0}{1-\gamma} \frac{E}{E_0} \mu} \quad (1.25)$$

и исключая $\psi(t)$ при помощи соотношения (1.10), приходим к нелинейному интегральному уравнению

$$f^{-2}(t) + \int_0^t f^{-2}(\tau) K_*(t, \tau) d\tau = f(t). \quad (1.26)$$

Отсюда имеем $f(\tau) = 1$. Предельным переходом при $t \rightarrow \infty$ из (1.26) находим

$$f_* = \sqrt[3]{1 + \frac{A}{\gamma} + \frac{A_0}{\gamma_0}}. \quad (1.27)$$

Здесь и далее через f_* и a_* обозначены их значения при $t \rightarrow \infty$.

Уравнение (1.26) приводится к нелинейному дифференциальному уравнению второго порядка

$$f(2 + f^2) f'' = 6f'^2 - bf' + m, \quad (1.28)$$

где

$$b = f[2(\gamma_0 + \gamma + A + A_0) + (\gamma_0 + \gamma) f^3]; \quad (1.29)$$

$$m = f^2(\gamma_0\gamma + \gamma A_0 + \gamma_0 A - \gamma_0\gamma f^3).$$

При помощи подстановки

$$t - \tau_1 = \int_1^f X(x) dx \quad (1.30)$$

уравнение (1.28) приводится к дифференциальному уравнению первого порядка

$$f(2 + f^3)X' + mX^2 - bX + 6 = 0 \quad (1.31)$$

с начальным условием

$$X(1) = 3(\gamma_0 + A + A_0)^{-1}. \quad (1.32)$$

При помощи (1.30) — (1.31) легко получить численное решение задачи.

При одинаковых реологических свойствах слоя и основания $A=0$, и интегральное уравнение (1.26) приводится к дифференциальному уравнению первого порядка

$$(2 + f^3)f' = (\gamma_0 + A_0 - \gamma_0 f^3)f, \quad (1.33)$$

решение которого при условии $f(\tau_1) = 1$ будет

$$t - \tau_1 = -\frac{1}{\gamma_0} \ln \left\{ f \left[\frac{f^2 - f^3}{f^3(f^2 - 1)} \right]^{\frac{2}{3f^3 + 3}} \right\}. \quad (1.34)$$

где

$$f_* = \sqrt[3]{1 + \left(1 - \frac{1}{\mu}\right) EC}.$$

В случае чисто-упругого основания $A_0=0$, $A=-\lambda/\mu$, и приходим к решению (1.34), причем в этом решении нужно принять

$$f_* = \sqrt[3]{1 - \frac{EC}{(1 + EC)\mu}}. \quad (1.35)$$

По формуле (1.34) построены графики $\frac{a(t)}{a_0}$ для рассмотренных двух случаев, которые приведены на рис. 2. Численные значения параметров здесь и далее следующие: $E_0 = 2 \cdot 10^5 \text{ кг/см}^2$, $C_0 = 0,9 \cdot 10^{-4} \text{ см}^2/\text{кг}$, $\gamma_0 = 0,026 \frac{1}{\text{день}}$, $\frac{\lambda}{\mu} = \frac{1}{20}$.

Анализ полученных формул показывает, что при одинаковых свойствах ползучести основания и слоя длина контакта при постоянной силе в течение времени возрастает, а при отсутствии свойства ползучести основания — уменьшается.

3°. Предположим, что слой изготовлен из пластического материала со степенным законом упрочнения. Зависимость между изгибающим моментом и кривизной балки принимаем в виде

$$M = D\kappa^{\frac{1}{n}}, \quad D = \frac{D_0 h^{2 + \frac{1}{n}}}{2 + \frac{1}{n}}, \quad (1.36)$$

D_0 — параметр, характеризующий материал, $n > 1$.

Вариационное уравнение задачи будет

$$a D x^{\frac{1}{n}} \delta x - \int_0^{a(t)} p(x, t) [\delta w(0, t) - \delta w(x, t)] dx = 0. \quad (1.37)$$

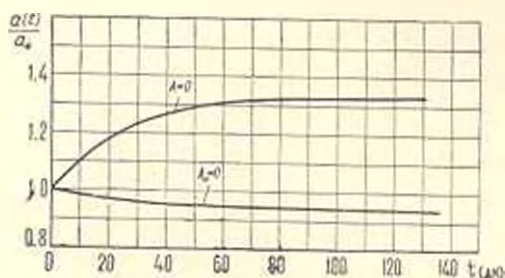


Рис. 2.

Подставляя (1.9) и (1.11) в (1.37) и делая необходимые выкладки, получим

$$\dot{\varphi}(t) + \int_{-l}^l \dot{\varphi}(\tau) K_0(t, \tau) d\tau = \frac{P^{\frac{3n}{2}}(t)}{D_*(t)} \dot{\varphi}^{-\frac{n}{2}}(t), \quad (1.38)$$

где

$$D_*(t) = \frac{4(1 - \nu_0^2)}{\pi E_0(t)} \left(\frac{16nD_0}{2n+1} \right)^n h^{2n+1}. \quad (1.39)$$

Для постоянной силы и старого материала, исключая $\varphi(t)$, из (1.38) приходим к интегральному уравнению

$$f^{-2}(t) + \int_{-l}^l f^{-2}(\tau) K_0(t, \tau) d\tau = f^n(t), \quad (1.40)$$

причем $f(t) = a(t)/a_0$, где

$$a_0 = h \left[\frac{4(1 - \nu_0^2)}{\pi E_0} \right]^{\frac{1}{n+2}} \left(\frac{16nD_0}{2n+1} \right)^{\frac{n}{n+2}} \left(\frac{h}{P} \right)^{\frac{n-1}{n+2}}. \quad (1.41)$$

Предельным переходом из (1.40) находим

$$f_* = (1 + E_0 C_0)^{\frac{1}{n+2}}. \quad (1.42)$$

Уравнение (1.40) приводится к дифференциальному уравнению первого порядка

$$(2 - n f^{n+2}) f' = \gamma f - \gamma_0 f^{n+2}, \quad (1.43)$$

решение которого будет

$$t - \tau_1 = \frac{1}{\gamma_0} \ln \left[f^2 \left(\frac{f^n - 1}{f_*^n - f^n} \right)^{\frac{f_*^{n+2} + 1}{2}} \right]. \quad (1.44)$$

На рис. 3 приведены графики функции $a(t)/a_0$ для различных значений n и параметров $n \cdot 2^\circ$.

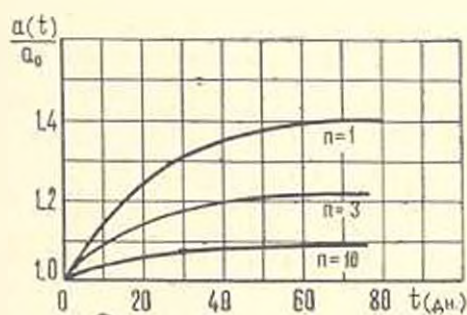


Рис. 3.

Можно поставить обратную задачу: определить закон изменения во времени $P(t)$ при условии $a(t) = \text{const}$. Тогда для старого материала, исключая из (1.38) $\psi(t)$, приходим к уравнению

$$q(t) + \int_{\tau_1}^t q(\tau) K_0(t, \tau) d\tau = q^n(t), \quad (1.45)$$

причем $q(t) = P(t)/P(\tau_1)$. Предельным переходом при $t \rightarrow \infty$ из (1.45) находим

$$q_* = (1 + E_0 C_0)^{\frac{1}{n-1}}. \quad (1.46)$$

Интегральное уравнение (1.45) приводится к дифференциальному уравнению

$$(1 - n q^{n-1}) q' = \gamma q^n - \gamma_0 q, \quad (1.47)$$

решение которого при начальном условии $q(\tau_1) = 1$ имеет вид

$$t - \tau_1 = -\frac{1}{\eta_0} \ln \left[q \left(\frac{q_*^{n-1} - q^{n-1}}{q_*^{n-1} - 1} \right)^{\frac{nq_*^{n-1} - 1}{n-1}} \right] \quad (1.48)$$

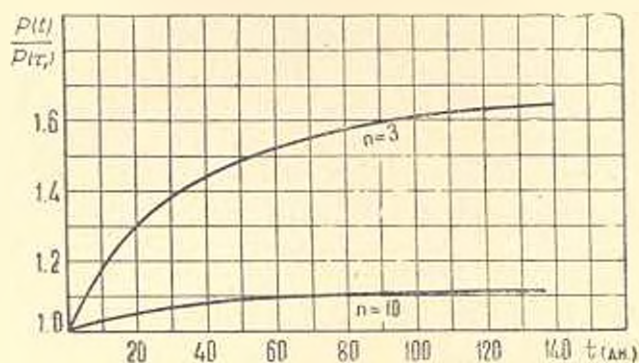


Рис. 4.

Таким образом, если внешняя сила возрастает во времени по закону (1.48), то длина контакта остается постоянной $a(t) = a_0$ (рис. 4).

§ 2. Осесимметричная задача

1°. Пусть тонкая круглая плита прижимается сосредоточенной, приложенной в центре плиты, силой $P(t)$ к основанию, занимающему нижнее полупространство (рис. 5). Контакт между слоем и основанием считаем без сцепления с радиусом круговой области контакте $a(t)$.

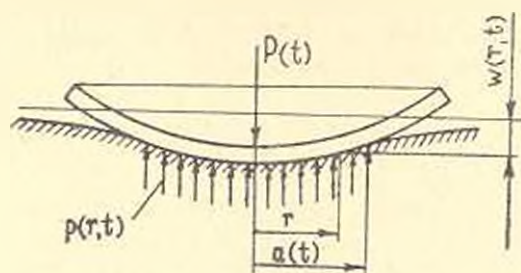


Рис. 5.

Вертикальное перемещение точек контактной поверхности выражается через реактивное давление $p(r, t)$ по формуле [10]

$$w(r, t) = \frac{1 - \nu_0^2}{\pi E_0(t)} \left[\omega(r, t) + \int_0^t \omega(r, \tau) K_0(t, \tau) d\tau \right] \quad (2.1)$$

$$\omega(r, t) = \iint_{\Omega} \frac{p(\xi, t) \xi^2 d\xi d\theta}{\sqrt{r^2 + \xi^2 - 2r\xi \cos \theta}}, \quad 0 < r < a(t) \quad (2.2)$$

где Ω —область контакта.

Реактивное давление можно представить в виде [19]

$$p(r, t) = -\frac{1}{2\pi} \int_0^{a(t)} \frac{1}{\sqrt{\xi^2 - r^2}} \frac{\partial F(\xi, t)}{\partial \xi} d\xi, \quad (2.2)$$

$$F(r, t) = \frac{2}{\pi} \left[\omega(a(t), t) + r \int_0^a \frac{1}{\sqrt{r^2 - \xi^2}} \frac{\partial \omega}{\partial \xi} d\xi \right] \quad (2.3)$$

Реактивное давление удовлетворяет условию

$$2\pi \int_0^{a(t)} p(r, t) r dr = P(t). \quad (2.4)$$

Учитывая ограниченность напряжения на границе контактной области, будем иметь:

$$F[a(t), t] = 0; \quad \int_0^{a(t)} F(\xi, t) d\xi = P(t). \quad (2.5)$$

Вводим предположение, что прогиб плиты меняется по параболическому закону. Тогда можно принять

$$\omega(r, t) = v(t) - \psi(t)r^2, \quad (2.6)$$

где $v(t)$ и $\psi(t)$ — искомые функции времени.

Из (2.3) и (2.5) получим

$$F(r, t) = \frac{2}{\pi} [v(t) - 2\psi(t)r^2]. \quad (2.7)$$

Далее, подставляя (2.7) в (2.2) и производя необходимые выкладки, получим

$$p(r, t) = \frac{4}{\pi} \psi(t) \sqrt{a^2(t) - r^2}. \quad (2.8)$$

Используя условия (2.5), находим:

$$v(t) = \frac{3\pi}{4} \frac{P(t)}{a(t)}; \quad \psi(t) = \frac{3\pi}{8} \frac{P(t)}{a^3(t)}. \quad (2.9)$$

Выражение прогиба плиты будет

$$\omega(r, t) = \frac{1 - \nu_0^2}{2E_0(t)} [v_0(t) - \psi_0(t)r^2]. \quad (2.10)$$

причем индекс \ast , как и в предыдущем параграфе, означает оператор Вольтерра (1.12).

2°. Рассмотрим случай, когда плита трехслойная с симметричными тонкими усиливающими покрытиями. Материал покрытия считаем линейно-упругим, средний слой — бетон, подчиняющийся соотношениям теории ползучести Маслова-Арутюняна [1].

Из условий статки элемента плиты и соотношения между напряжениями и деформациями следуют зависимости между компонентами изгибающих моментов и кривизны средней поверхности плиты

$$M_r = Bx_r + B_1x_3 - \int_0^z B_0(x_r + v_3) R(t, z) dz, \quad (2.11)$$

где

$$x_r = -\frac{\partial^2 w}{\partial r^2}; \quad x_3 = -\frac{1}{r} \frac{\partial w}{\partial r}; \quad B_1 = \nu B_0 + \nu_1 \frac{E_1 \Delta h^3}{2(1 - \nu_1^2)}; \quad (2.12)$$

а B и B_0 определяются по формулам (1.14).

Согласно принципу возможных перемещений имеем

$$a^2 (M_r \delta v_r + M_3 \delta x_3) - 2 \int_0^{a(t)} p(r, t) [\delta w(0, t) - \delta w(r, t)] r dr = 0. \quad (2.13)$$

Здесь использовано равенство (2.4). Используя выражения прогиба (2.10), реактивного давления (2.8) и соотношения (2.11), из (2.13) приходим к уравнению

$$\varphi_a(t) - \int_0^z \varphi_a(z) R_1(t, z) dz = \frac{P(t)}{Q(t)}, \quad (2.14)$$

где

$$R_1(t, z) = \frac{E_0(t)}{E_0(z)} \frac{E(z)}{E(t)} \frac{R(t, z)}{\nu_1(t)}; \quad \nu_1(t) = 1 + 6 \frac{1 - \nu}{1 - \nu_1} \frac{E_1 \Delta}{E(t) h}; \quad (2.15)$$

$$Q(t) = \frac{5}{3} \frac{1 - \nu_0^2}{1 - \nu} \frac{E(t)}{E_0(t)} \nu_1(t) h^3.$$

Применяя формулу Дирихле о преобразовании двойного интеграла и исключая $\varphi(t)$ из (2.14), получим интегральное уравнение

$$P(t) a^{-3}(t) + \int_0^t P(\tau) a^{-3}(\tau) K_a(t, \tau) d\tau = \frac{P(t)}{Q_a(t)}, \quad (2.16)$$

где

$$Q_*(t) = \frac{3\pi}{8} Q(t); \quad (2.17)$$

$$K_*(t, \tau) = K_0(t, \tau) - R_1(t, \tau) - \int_{\tau}^t K_0(\xi, \tau) R_1(t, \xi) d\xi.$$

Для старых материалов $K_0(t, \tau)$ имеет вид (1.21), но в выражениях A и A_0 следует μ заменить через μ_1 . Вводим обозначение

$$a(t) = a_0 \sqrt[3]{f(t)},$$

где

$$a_0 = h \sqrt[3]{\frac{5\pi}{8} \frac{1-\nu_0}{1-\nu} \frac{E}{E_0} \tau_0} \quad (2.18)$$

— начальный радиус контактной области.

Если через a_0 обозначить значение этой величины, полученное Р. А. Вейцманом [21] точным методом для однородных упругих материалов плиты и основания, то при $\mu_1 = 1$ будем иметь

$$\frac{a_0}{a_0'} \approx 0,78 \sqrt[3]{1+\nu}, \quad (2.19)$$

что при $\nu = 0,4$ дает значение $a_0/a_0' \approx 0,88$.

Далее, принимая $P(t) = \text{const}$, из (2.16) приходим к линейному интегральному уравнению

$$f(t) + \int_{\tau_0}^t f(\tau) K_*(t, \tau) d\tau = 1, \quad (2.20)$$

которое приводится к дифференциальному уравнению второго порядка с постоянными коэффициентами

$$f'' + s_1 f' + s_2 f = \gamma_0 \gamma, \quad (2.21)$$

где

$$s_1 = \gamma_0 + \gamma + A_0 + A, \quad s_2 = \gamma_0 \gamma + \gamma A_0 + \gamma_0 A,$$

с начальными условиями:

$$f(\tau_0) = 1; \quad f'(\tau_0) = -A_0 - A. \quad (2.22)$$

Если положить $s_1^2 - 4s_2 > 0$ и ввести обозначения

$$\alpha = \frac{s_1 - \sqrt{s_1^2 - 4s_2}}{2}; \quad \beta = \frac{s_1 + \sqrt{s_1^2 - 4s_2}}{2}. \quad (2.23)$$

решение уравнения (2.21) при начальных условиях (2.22) будет

$$f(t) = \frac{\gamma_0 \gamma_1}{\alpha \beta} + \frac{1}{\alpha - \beta} \left[\left(A_0 + A - \gamma + \frac{\gamma_0 \gamma_1}{\alpha} \right) e^{-\alpha(t-\tau_0)} - \left(A_0 + A - \alpha + \frac{\gamma_0 \gamma_1}{\beta} \right) e^{-\beta(t-\tau_0)} \right]. \quad (2.24)$$

При $t \rightarrow \infty$ получаем

$$a_* = a_0 \sqrt[3]{1 + \frac{A}{\gamma} + \frac{A_0}{\gamma_0}}. \quad (2.25)$$

Отсюда легко заметить, что при одинаковых реологических свойствах основания и бетонного слоя плиты ($A=0$) радиус контактной области возрастает во времени, а в случае отсутствия у материала основания свойств ползучести ($A_0=0$, $A=-\lambda/\mu$) радиус этой области уменьшается во времени.

3°. Пусть круглая тонкая плита изготовлена из пластического материала со степенным законом упрочнения. Между интенсивностями изгибающих моментов и кривизн принимаем зависимость

$$M_0 = D x_0^n, \quad (2.26)$$

где

$$M_0 = \frac{1}{1-3} \sqrt{M_r^2 - M_r M_\theta + M_\theta^2}; \quad x_0 = \frac{1}{1-3} \sqrt{x_r^2 + x_\theta^2 + x_z^2}.$$

Вариационное уравнение рассматриваемой задачи будет

$$a^2 D x_0^{-n} \delta x_0 - 2 \int_0^{a(t)} p(r, t) [\delta w(0, t) - \delta w(r, t)] r dr = 0. \quad (2.27)$$

Используя выражения прогиба плиты (2.10) и реактивного давления (2.8), из (2.27) получаем

$$\psi(t) + \int_0^t \psi(\tau) K_0(t, \tau) d\tau = \frac{P^n(t)}{H(t)}, \quad (2.28)$$

где

$$H(t) = \frac{2(1-\nu_0^n)}{\pi E_0(t)} \left(\frac{5\pi n D_0}{2n+1} \right)^n R^{2n+1}. \quad (2.29)$$

Исключая $\psi(t)$ при помощи (2.9) и обозначая $H_*(t) = \frac{3\pi}{8} H(t)$, из (2.28) приходим к уравнению

$$P(t) a^{-3}(t) + \int_0^t P(\tau) a^{-3}(\tau) K_0(t, \tau) d\tau = \frac{P^n(t)}{H_*(t)}. \quad (2.30)$$

Для старого материала основания и постоянной силы, обозначая

$$a(t) = a_0 \sqrt[3]{f(t)},$$

где

$$a_0 = h \sqrt[3]{\frac{3}{4} \frac{1-\nu_0}{E_0(t)} \left(\frac{5-nD_0}{2n+1} \right)^{\frac{n}{3}} \left(\frac{h^2}{P} \right)^{\frac{n-1}{3}}}. \quad (2.31)$$

получим интегральное уравнение

$$f(t) + \int_0^t f(\tau) K_0(t, \tau) d\tau = 1, \quad (2.32)$$

решение которого будет

$$f(t) = \frac{1}{1 + E_0 C_0} [1 - E_0 C_0 e^{-\frac{1}{2}(1+E_0 C_0)t}]. \quad (2.33)$$

Предельное значение радиуса области контакта при $t = \infty$ будет

$$a_\infty = a_0 \sqrt[3]{1 + E_0 C_0}. \quad (2.34)$$

На рис. 6 показан график функции $a(t)/a_0$ построенный по формуле (2.33) при прежних значениях параметров.

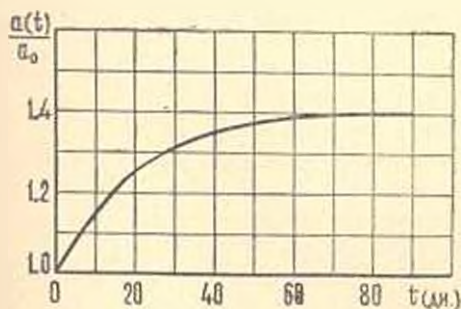


Рис. 6.

Обратная задача здесь не отличается от задачи, рассмотренной в плоском случае. Действительно, для старого бетона, принимая в (2.30) $a(t) = \text{const}$ и исключая H_* , для искомого закона изменения $q(t) = P(t)P(\tau_1)$ приходим к тому же уравнению (1.45).

ՀԻՄՆԱՏԱԿԻՆ ՍԵՂՄՂԱԾ ՇՆՐՏԻ ՄԻ ՎԱՐՄԱՑԻՈՆ ԽՆԿՐԻ
ՎԵՐԱԲԵՐՅԱԼ՝ ՀԱՇՎԻ ԱՌԱՇ ՆՅՈՒԹԻ ՌԵՈԼՈԳԻԿԱԿԱՆ
ՀԱՏԿՈՒԹՅՈՒՆՆԵՐԸ

Ս. Վ. Փ. Ա. Փ. Ա. Փ.

Շողիվածում բերված է սողքի և պրաստիկության տեսության վարիացիոն մեխոդինիկի կիրառումը առաձգա-սողուն ու պրաստիկորեն ամրացող նյութից շերտը կենտրոնացված ուժով առաձգա-ժածուցիկ հիմնատակին սեղմելիս հարթի և տանձցրաստիմնարիկ խնդիրները լուծելու համար: Շերտի և հիմնատակի կոնտակտը բնորոշվում է առանց շաղկապման՝ անհայտ ու ժամանակի բնիացքում փոփոխական սահմաններով: Հիմնատակի նյութը բնորոշվում է առաձգա-սողուն, որը ենթարկվում է սողքի ժառանգական տեսության Մաուրյով-Հարուբյունյանի հավասարումներին:

Л И Т Е Р А Т У Р А

1. Арутюнян Н. Х. Некоторые вопросы теории ползучести. ГИИТТИ, М.—Л., 1952
2. Арутюнян Н. Х., Абрамян Б. Л. О температурных напряжениях в прямоугольных блоках. Изв. АН АрмССР, серия ФМЕI наук, т. 8, № 4, 1955.
3. Арутюнян Н. Х. Плоская контактная задача теории ползучести. ПММ, т. 23, в. 5, 1959.
4. Работнов Ю. Н. Ползучесть элементов конструкции. «Наука», М., 1966.
5. Работнов Ю. Н. Элементы наследственной механики твердых тел «Наука», М., 1977.
6. Арутюнян Н. Х. Плоская контактная задача теории пластичности со степенным упрощением. Изв. АН АрмССР, серия физ.-мат. наук, т. 12, № 2, 1959.
7. Надаи А. Пластичность и разрушение твердых тел. «Мир», т. 2, М., 1969.
8. Ржаницын А. Р. Теория ползучести. Строиниздат, М., 1968.
9. Соколовский В. В. Теория пластичности, Высшая школа, М., 1969.
10. Прокопович Ч. Е. О решении плоской контактной задачи с учетом ползучести. ПММ, т. 20, в. 6, 1956.
11. Розовский М. Н. О влиянии реологических свойств основания и лежащих на нем полос и круглой плиты на показатели их гибкости. Сб. «Реологические вопросы механики горных пород», изд-во АН КазССР, Алма-Ата, 1964.
12. Ширинкулов Т. Ш. Методы расчета конструкции на сплошном основании с учетом ползучести. Изд-во «ФАН», УзССР, Ташкент, 1969.
13. Какосимиди Н. Ф. Расчет фундаментной полосы с учетом ползучести основания. Изв. АН АрмССР, серия физ.-мат. наук, т. 13, № 6, 1960.
14. Lee E. H., Radok J. R. M. The contact problem for visco-elastic bodies. J. Appl. Mech. № 3, v. 27, 1960.
15. Զադյան Մ. Ա. Термонапряженное состояние бетонных блоков с учетом ползучести материала. Изв. АН АрмССР, серия физ.-мат. наук, т. 10, № 5, 1957.
16. Развитие теории контактных задач в СССР. АН СССР, институт проблем механики, «Наука», М., 1976.
17. Գայտովա Լ. Մ. Расчет на изгиб упруго-ползучей железобетонной плиты на упруго-ползучем основании. Изв. АН АрмССР, серия техн. наук, т. 29, № 1, 1976.

- 18 Белоконь *А. В.*, Воронич *И. И.* Контактные задачи линейной теории вязкоупругости без учета сил трения и сцепления. Изв. АН СССР, МТТ, № 6, 1973.
- 19 Штаерман *И. Я.* Контактная задача теории упругости. Госиздат, М., 1949.
- 20 Задоян *М. А.* О применении вариационных методов теории ползучести при расчете статически-неопределимых железобетонных конструкций. Изв. АН АрмССР, серия техн. наук, т. 27, № 1, 1974.
- 21 Вейцман *Р. А.* О контакте без сцепления между пластинок и упругим полупространством. Прикладная механика (перевод с английского) (Trans. ASME), серия E, т. 36, № 2, 1969.

ГИДРАВЛИКА

С. А. АНАНЯН, А. К. АНАНЯН

ГИДРОДИНАМИЧЕСКИЕ МЕТОДЫ ОПРЕДЕЛЕНИЯ ЭКСПЛУАТАЦИОННЫХ ЗАПАСОВ ПОДЗЕМНЫХ ВОД С УЧЕТОМ ИЗМЕНЕНИЯ ИХ КАЧЕСТВА ПОД ВЛИЯНИЕМ ПОВЕРХНОСТНЫХ ИСТОЧНИКОВ

В статье излагаются гидродинамические основы определения эксплуатационных запасов подземных вод и способов их рационального использования для различных нужд. Излагается также методика прогноза изменения качества подземных вод под влиянием поверхностных загрязняющих источников. К этим задачам можно отнести также гидродинамические методы расчета пополнения подземных вод в межгорных впадинах.

Перечисленные выше задачи решаются применительно к межгорным впадинам на примере Араратской равнины.

Араратская равнина в геологическом и гидрогеологическом отношении является сравнительно хорошо изученной межгорной впадиной, которая в сельскохозяйственном отношении имеет большое значение. Этим и объясняется, что Араратская равнина исследовалась и исследуется многими организациями и специалистами, результаты этих исследований опубликованы [1, 2] или оформлены в виде отчетов, которыми мы широко пользовались при решении перечисленных выше задач. Учитывая это обстоятельство, в статье геологические и гидрогеологические вопросы освещаются мало, несмотря на то, что эти характеристики являются основой всех наших исследований.

Араратская равнина представляет собой горный артезианский бассейн и служит естественным резервуаром подземных вод, поступающих с обрамляющих ее гор. В результате тектонических процессов по всей ширине проемы р. Аракс образовался порог у горы Дагня, который подобно плотине преграждает сток за ее пределами. Подземные воды Араратской равнины формируются, в основном, в предгорной и нагорной частях бассейна и среднего течения р. Аракс. Глубинные воды транспортируются на равнину преимущественно по древней погребенной речной сети и геоструктурным понижениям, заполненным лавовыми породами. Подземное водохранилище Араратской равнины заполнено напорными и грунтовыми водами, которые, не имея свободного оттока за пределы этого водохранилища, почти полностью разгружаются в него.

Циркуляция подземных вод происходит, в основном, по базальтам, андезито-базальтам и другим лавовым и валуно-галечниковым породам, залегающим в нижних горизонтах четвертичного комплекса.

Поверху лавовых пород залегает рыхлообломочный комплекс с мощными глинистыми пластами, которые создают условия для образования напора подземных вод в толще четвертичного комплекса. На периферийных частях равнины, где мощность озерно-речного комплекса уменьшается и залегают грубообломочные грунты, наблюдается выход мощных родников. Подземные воды над озерными глинами образуют второй водоносный слой, который характеризуется весьма пестрым литологическим составом и невыдержанным направлением. Подземные воды первого и второго водоносных слоев гидравлически связаны. Перемешивание возможно через многочисленные забои вертикальных скважин, и, кроме того, свободная связь между водоносными слоями существует в периферийных зонах озерных глин. Верхний покровный слой Араратской равнины представлен, в основном, аллювиальными суглинистыми отложениями. Грунтовые воды залегают на глубине 0,5—3,0 м от поверхности земли. Напорные воды подземного слоя постоянно подпитываются грунтовыми водами.

Из сказанного видно, что в гидрогеологическом отношении Араратская равнина представляет собой сложную систему гидравлически связанных между собой слоев: верхний покровный слой с напорным пеганием грунтовых вод, нижний слабонапорный водоносный слой, отделенный от артезианского водоносного слоя озерными глинами. Гидрогеологическая особенность Араратской равнины заключается еще в том, что все поверхностные водосточники, которые образовались на территории равнины и прилегающих к ней районов, гидравлически связаны с указанными выше водоносными слоями, что необходимо учитывать при расчетах эксплуатационных запасов. При расчете гидродинамическим методом эксплуатационных запасов подземных вод и при разработке способов их эксплуатации необходимо не только точно схематизировать сложные гидрогеологические условия местности, но и одновременно необходимо отъем воды произвести по режимам потребителей (орошения, водоснабжения и т. д.), не нарушая при этом естественных режимов родников и других водосточников.

Сложность задачи заключается еще и в том, что при отъемах воды из подземного водохранилища нельзя допускать перемешивания сильно минерализованных вод покровного слоя на засоленных участках почвы с нижележащими водоносными слоями.

Принципы схематизации гидрогеологических условий местности, установления граничных и начальных условий, выбор типа водозаборных сооружений и рациональной схемы их размещения для создания математической модели Араратской равнины нами опубликованы в работах [3—4]. Поэтому на этом мы не останавливаемся и переходим к математической формулировке задачи.

Для описания фильтрационных процессов в трех, между собой гидравлически связанных, водоносных слоях, будем пользоваться дифференциальными уравнениями фильтрации. Эти уравнения для нашей задачи можно представить в следующем виде:

$$\frac{\partial}{\partial x} \left(\bar{h} \frac{\partial h}{\partial x} \right) + \frac{\partial}{\partial y} \left(\bar{h} \frac{\partial h}{\partial y} \right) + k_0 \frac{H-h}{h-T} \pm q = v_0 \frac{\partial h}{\partial t}; \quad (1)$$

$$\frac{\partial}{\partial x} \left(k_1 m_1 \frac{\partial H_1}{\partial x} \right) + \frac{\partial}{\partial y} \left(k_1 m_1 \frac{\partial H_1}{\partial y} \right) - k_0 \frac{H-h}{h-T} + k_2 \frac{H_1 - H_2}{m_2} = v_1 \frac{\partial H_1}{\partial t}; \quad (2)$$

$$\frac{\partial}{\partial x} \left(k_2 m_2 \frac{\partial H_2}{\partial x} \right) + \frac{\partial}{\partial y} \left(k_2 m_2 \frac{\partial H_2}{\partial y} \right) - k_2 \frac{H_1 - H_2}{m_3} = v_2 \frac{\partial H_2}{\partial t}; \quad (3)$$

$$T = m_1 + m_2 + m_3, \quad (4)$$

где x, y — координаты точки; плоскость xOy совмещена с плоскостью водоупора; t — время; h — высота залегания уровня грунтовых вод в первом водоносном слое, считая от координатной плоскости; H_1 и H_2 — пьезометрические напоры в соответствующих водоносных слоях; k_0, k_1, k_2 — коэффициенты фильтрации соответствующих водоносных слоев; q — скорость инфильтрации или испарения в покровном слое; v_0, v_1 и v_2 — коэффициенты водоотдачи и упругости соответствующих водоносных слоев; m_1, m_2 и m_3 — мощности соответствующих водоносных слоев.

Начальные условия для уравнения (1) определяются высотой стояния уровня грунтовых вод, которые задаются в виде карты гидронизогипс. Начальные условия для напорных водоносных слоев (2) — (3) задаются в виде гидронизогез (линия одинаковых напоров). Граничные условия для дифференциальных уравнений (1) — (3) определяются гидрогеологическими условиями местности (на основании геологической и геофизической разведки).

В условиях Араратской равнины в зависимости от гидрогеологических условий приняты граничные условия первого, второго и третьего рядов. Граничные условия первого ряда приняты на тех участках контура области фильтрации, где наблюдается поступление воды (при постоянном напоре) из области формирования в подземное водохранилище Араратской равнины, а также на местах выхода родников или других водосточников, включая реки и водоемы, которые гидравлически связаны с водоносными слоями. Граничные условия второго ряда приняты на тех участках контура области фильтрации, где практически не наблюдается поступление воды из области формирования в Араратскую равнину (безводные участки). Граничные условия третьего ряда приняты на участках конуса выноса речных долин.

Дифференциальные уравнения (1) — (3) нами решаются конечно-разностным методом с переменными коэффициентами на трех универсальных сеточных моделях (УСМ-1), работающих в параллельном режиме с цифровой машиной Наирн-2. Принципиальная электрическая блок-схема расчета приведена в [3,5]. Сопротивления R_x, R_y, R_z блок-схемы определяются из аналогии, которая существует между урав-

чениями фильтрации и Кирхгофа для электрического поля. Правые части (нестационарные члены) дифференциальных уравнений (1) — (3) моделируются переменным сопротивлением R_t по методу Либмана [6].

После каждого шага по времени значение потенциала на свободных концах временных сопротивлений задается из карты гидропьезоизогипс, которая получена по расчету в предыдущих моментах времени. Инфильтрационные процессы в верхнем покровном слое и расходы водозаборных сооружений моделируются силой тока по аналогии, существующей между фильтрацией и силой тока по законам Ома и Дарси. Более подробное описание методики решения дифференциальных уравнений фильтрации в двухслойной фильтрующей среде приведено в [3].

В результате решения дифференциальных уравнений (1) — (3) получаем значения напоров после каждого шага по времени в соответствующих точках области фильтрации.

По полученным картам гидроизогипс нетрудно определить эксплуатационные запасы подземных вод и скорости фильтрации.

Эксплуатационные запасы подземных вод по известным значениям напоров, полученным при определенной схеме расположения скважин и определенном режиме их работы, оцениваются следующим образом.

Задается высота стояния уровня грунтовых вод, т. е. глубина осушения, считая от поверхности почвы, выше которой их подъем не допускается. Например, на засоленных землях Араратской равнины эта высота принята равной 3 м, исходя из условия недопущения вторичных процессов засоления. Естественная высота стояния уровня грунтовых вод в условиях Араратской равнины в среднем достигает 2 м.

Уровень грунтовых вод снижается при откачках и наоборот — повышается (восстанавливается) при их частичном или полном прекращении. Закономерность снижения и повышения уровня грунтовых вод определяется по картам гидроизогипс для каждого периода времени в отдельности. Небольшая высота снижения уровня грунтовых вод (или продолжительность откачки) определяется высотой, при которой по прекращению откачки начинается подъем уровня грунтовых вод, и в течение определенного времени их уровень достигает начальной глубины осушения. Разумеется, суммарное время откачки и восстановления должно равняться годовому периоду времени. Только при этих условиях процесс сработки и наполнения определенной емкости подземного резервуара из года в год может происходить по периодическому закону (т. е. не произойдет истощения запасов подземных вод).

Из сказанного видно, что эксплуатационные запасы подземных вод определяются объемом воды, который после частичного или полного прекращения работы скважины поступает из области формирования в область отъема в течение времени, необходимого для подъема уровня воды до отметки осушения.

Условия непрерывного поступления подземных вод из области формирования в область отбора математически сформулированы в граничных и начальных условиях задачи.

На рис. 1. приведены результаты расчетов, выполненные по описанному выше методу на площади 17 тыс. га Октемберянского района, при работе 250 скважин по определенному режиму и определенной схеме их расположения; на рис. 1 ступенчатым графиком показан режим отбора (расход, время и число одновременно работающих скважин).

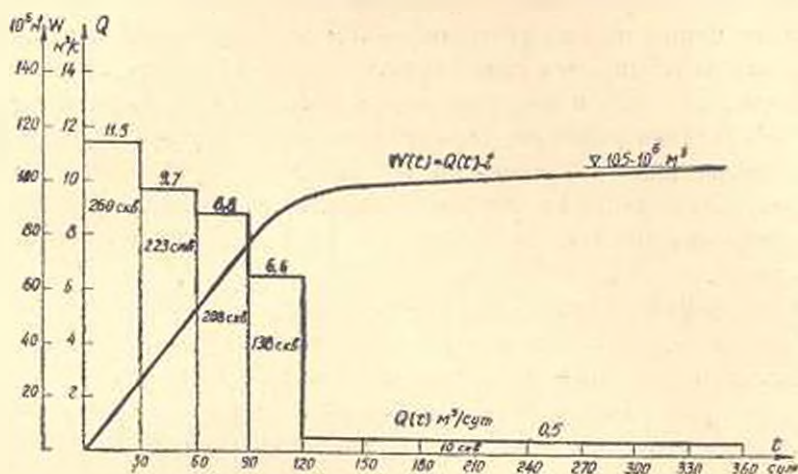


Рис. 1. Подземный сток и график отдачи.

Непрерывной кривой показан сток подземных вод. Из кривой стока видно, что эксплуатационный запас подземных вод на площади 17 тыс. га равняется 105 мл. м^3 в год. Этот объем является дополнительным источником воды для орошения.

По изложенному методу можно разрешить и другие задачи. Например, задаваясь различными схемами и режимами работы скважин, можно определить более экономичные варианты водозаборных сооружений.

При помощи дифференциальных уравнений (1) — (3) методом математического моделирования можно разрешить также вопросы динамики подземных вод при пополнении динамических запасов. В зависимости от принятой схемы пополнения нетрудно математически сформулировать начальные и граничные условия решения дифференциальных уравнений (1) — (3).

Вторая задача, которая связана с проблемой сохранения качества или защиты подземных вод от загрязнения поверхностными источниками, в настоящее время приобретает большое практическое значение. В частности, будем рассматривать задачу изменения минерализации подземных вод в различных водоносных слоях при капитальных промывках засоленных земель в покровном слое.

Как известно, капитальные промывки засоленных земель обычно производятся оросительной водой. Эта вода, просачиваясь в толщу почвогрунта из отдельных чеков*, по пути движения растворяет соли. Раст-

* Чеки — это небольшие обвалованные участки поля, которые при орошении наполняются водой (глубиной от 20 до 30 см) в течение всего процесса промывки.

зоренные соли при инфильтрационных процессах перемешиваются с нижними водоносными слоями, а затем дренажными устройствами перехватываются и подаются на поверхность земли. Как было сказано выше, при установлении эксплуатационных запасов подземных вод отъем (откачку) необходимо произвести таким образом, чтобы качество воды в водоносных слоях чувствительно не изменялось.

Вторая задача, связанная с проблемой загрязнения подземных вод, поступающих с поверхностных слоев засоленной почвы в более глубокие слои при капитальных промывках, на фоне вертикального дренажа решается при помощи дифференциальных уравнений массопереноса. Для решения этой задачи пространственную задачу массопереноса приближенно заменяем плано-пространственной задачей. Перенос солей только в вертикальном направлении приближенно описывается дифференциальным уравнением физико-химической гидродинамики [7]:

$$\frac{\partial}{\partial z} \left(D \frac{\partial c}{\partial z} \right) - \frac{\partial (vC)}{\partial z} + \beta (C_n - C) = n \frac{\partial c}{\partial t} \quad (5)$$

Для уравнения (5) принимаем следующие начальные и граничные условия:

при $t = 0$

$$C = \varphi(z); \quad (6)$$

при $t > 0$

$$z = 0; \quad D \frac{\partial C}{\partial z} = v(C_0 - C); \quad z = T; \quad \frac{\partial C}{\partial z} = 0. \quad (7)$$

Планировочная задача массопереноса в двухслойной фильтрующей среде может быть представлена в следующем виде:

$$\begin{aligned} \frac{\partial}{\partial x} \left(D \frac{\partial C_1}{\partial x} \right) + \frac{\partial}{\partial y} \left(D \frac{\partial C_1}{\partial y} \right) - \frac{\partial (v_x C_1)}{\partial x} - \frac{\partial (v_y C_1)}{\partial y} + \\ + v_2 \frac{C_1^I - C_1^{II}}{m} + \beta (C_n - C) = n_1 \frac{\partial C_1}{\partial t}; \end{aligned} \quad (8)$$

$$\begin{aligned} \frac{\partial}{\partial x} \left(D \frac{\partial C_2}{\partial x} \right) + \frac{\partial}{\partial y} \left(D \frac{\partial C_2}{\partial y} \right) - \frac{\partial (v_x C_2)}{\partial x} - \frac{\partial (v_y C_2)}{\partial y} - \\ - v_2 D \frac{C_1^I - C_1^{II}}{m} = n_2 \frac{\partial C_2}{\partial t}. \end{aligned} \quad (9)$$

Дифференциальные уравнения (8) и (9) решаем при следующих начальных и граничных условиях:

при $t = 0$

$$C_1 = \varphi_1(x, y); \quad C_2 = \varphi_2(x, y); \quad (10)$$

при $t > 0$ на контуре

$$C_1 = C_2 = C^0. \quad (11)$$

В уравнениях (5) ÷ (11) приняты следующие обозначения:

- C_0 — концентрация предельного насыщения;
 $C(z, t)$ — концентрация грунтовых вод в любой точке по глубине;
 $C_1(x, y, t)$ и $C_2(x, y, t)$ — осредненные по высоте значения концентрации грунтовых вод в покровном и подстилающем водоносном слоях;
 v_x, v_y и v_z — скорость фильтрации по направлению осей координат;
 $D(x, y)$ и n — коэффициент конвективной диффузии и пористости и соответствующих водоносных слоев;
 β — коэффициент скорости растворения;
 m — мощность водоносного слоя в покровной толще (глубина воды в покровной толще, считая от подошвы покровного слоя).

Сопряжение осредненных значений функций $C_1(x, y, t)$ и $C_2(x, y, t)$ контактной плоскости двух водоносных слоев осуществляется некоторой непрерывной кривой для соблюдения условия непрерывности процесса массопереноса.

Решение планово-пространственной задачи массопереноса осуществляется в следующей последовательности:

1) Решаем дифференциальное уравнение (5). Результаты решения представлены в виде семейства кривых $C(z, t)$ (рис. 2).

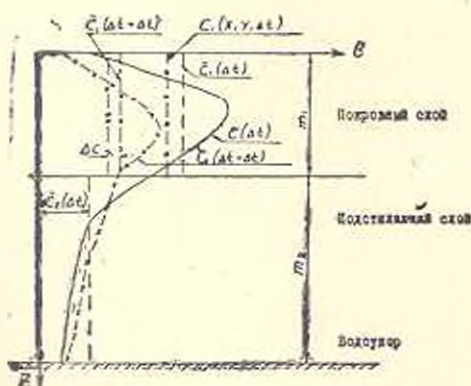


Рис. 2. Схематизация профильной задачи для формулировки начальных условий.

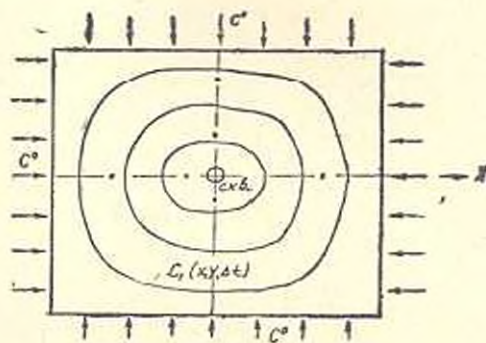


Рис. 3. Схематизация начальных условий планово-пространственной задачи.

2) Осредняем $\bar{C}(z, \Delta t)$ по высоте (разные в различных зонах фильтрации). На рис. 2 эти эпюры показаны пунктирными линиями.

3) Осредненные по высоте концентрации $\bar{C}_1(\Delta t)$ и $\bar{C}_2(\Delta t)$ принимаем в качестве начальных условий для решения первого шага по времени плановой задачи массопереноса. Граничные условия для дифференциальных уравнений (8) и (9) могут быть приняты любые.

4) Результаты решения системы дифференциальных уравнений (8) и (9) представляем в виде изолинии одинаковой концентрации для верхнего и нижнего водоносных слоев в отдельности (рис. 3).

5) Полученные из плановой задачи значения концентраций $C_1(x, y, \Delta t)$ и $C_2(x, y, \Delta t)$ наносим на рис. 2 (пунктир с точкой).

Разумеется, что значения $C_1(x, y, \Delta t)$ и $C_2(x, y, \Delta t)$, полученные из решения плановой задачи, будут несколько меньше заданных (начальных) значений $\bar{C}_1(\Delta t)$ и $\bar{C}_2(\Delta t)$. Это так и должно быть, ибо из контура области фильтрации поступает вода с меньшей концентрацией.

Ординаты осредненной эюкры концентраций $\bar{C}_1(\Delta t + \Delta t)$ и $\bar{C}_2(\Delta t + \Delta t)$, полученные после второго шага по времени решения профильной задачи, уменьшаем на величину, равную

$$\Delta C = \{C_1(\Delta t + \Delta t) - [\bar{C}(\Delta t) - C_1(x, y, \Delta t)]\}, \quad (12)$$

где $\bar{C}(\Delta t)$ — ордината осредненной эюкры концентрации, полученной из решения профильной задачи после первого шага по времени; $C_1(x, y, \Delta t)$ — ордината эюкры концентрации, полученная из решения плановой задачи после первого шага по времени при начальном условии $\bar{C}_1(\Delta t)$.

Новое значение концентрации, равное $[\bar{C}(\Delta t + \Delta t) - \Delta C]$, принимаем в качестве начального условия для решения плановой задачи для второго шага по времени.

Аналогичным образом расчеты продолжаем для $i\Delta t$ -го шага по времени. Процесс можно считать законченным тогда, когда концентрация грунтовых вод в верхнем водоносном слое достигнет допустимого предела.

Необходимо отметить, что при принятой схеме решения профильной задачи полученные результаты после каждого шага по времени не корректируются; т. е. не вносятся поправки после решения в соответствующем шаге по времени плановой задачи.

Надо предполагать, что это допущение — неучет обратной связи между плановой и профильной задачами — не может чувствительно отразиться на общих результатах расчетов. Во всяком случае, то упрощение, которое получается заменой решения весьма сложной пространственной задачи решением планово-пространственной задачи, в практическом отношении более целесообразно.

Дифференциальные уравнения массопереноса с соответствующими начальными и граничными условиями решаем на универсальной сеточной модели машины УСМ-1, работающей в параллельном режиме с цифровой машиной Нанри-2. Аналогом концентрации подземных вод C в фильтрационном потоке является потенциал U в электрическом поле.

Аналогом расхода солей в фильтрационном потоке является сила тока в электрическом поле. Используя эту аналогию, из дифференциального уравнения массопереноса и уравнения плотности электрического тока (закон Кирхгофа) нетрудно получить соответственно гид-

равлические и электрические сопротивления для составления электрической блок-схемы расчета.

Конечно-разностное выражение дифференциального уравнения (5) после преобразований можно представлять в следующем виде:

$$\left. \begin{aligned} \frac{C_1 - C_2}{\Phi_1} + \frac{C_3 - C_2}{\Phi_2} + \frac{\bar{C}_3 - C_1}{\Phi_3} + \frac{C_4^k - C_2}{\Phi_4} + \frac{C_{11} - C_2}{\Phi_5} &= \frac{C_2^i - C_2^{i-\Delta t}}{\Phi_1} \\ \frac{C_2 - C_3}{\Phi_2} + \frac{C_4 - C_3}{\Phi_6} + \frac{\bar{C}_4 - C_2}{\Phi_7} + \frac{C_3^k - C_3}{\Phi_8} + \frac{C_{11} - C_3}{\Phi_5} &= \frac{C_3^i - C_3^{i-\Delta t}}{\Phi_1} \\ \frac{C_3 - C_4}{\Phi_6} + \frac{C_5 - C_4}{\Phi_9} + \frac{\bar{C}_5 - C_4}{\Phi_{10}} + \frac{C_4^k - C_4}{\Phi_{11}} + \frac{C_{11} - C_4}{\Phi_5} &= \frac{C_4^i - C_4^{i-\Delta t}}{\Phi_1} \\ \dots &\dots \\ \dots &\dots \end{aligned} \right\} (13)$$

где

$$\begin{aligned} \Phi_1 &= \frac{\Delta z^2}{D \left(\frac{\Delta z}{2} \right) \Delta x \Delta y} ; & \Phi_2 &= \frac{\Delta z^2}{D \left(\frac{3}{2} \Delta z \right) \Delta x \Delta y} ; \\ \Phi_3 &= \frac{2 \Delta z}{\left(\frac{\partial D}{\partial z} - v \right) \Big|_{z=z_1} \Delta x \Delta y} ; & \Phi_4 &= \frac{1}{\frac{\partial v}{\partial z} \Big|_{z=z_1} \Delta x \Delta y} ; \\ \Phi_5 &= \frac{1}{3 \Delta x \Delta y} ; & \Phi_6 &= \frac{\Delta t}{n \Delta x \Delta y} ; & \Phi_8 &= \frac{\Delta z^2}{D \left(\frac{5}{2} \Delta z \right) \Delta x \Delta y} ; \\ \Phi_7 &= \frac{2 \Delta z}{\left(\frac{\partial D}{\partial z} - v \right) \Big|_{z=z_1} \Delta x \Delta y} ; & \Phi_9 &= \frac{1}{\frac{\partial v}{\partial z} \Big|_{z=z_1} \Delta x \Delta y} ; \\ \Phi_9 &= \frac{\Delta z^2}{D \left(\frac{7}{2} \Delta z \right) \Delta x \Delta y} ; & \Phi_{10} &= \frac{2 \Delta z}{\left(\frac{\partial D}{\partial z} - v \right) \Big|_{z=z_1} \Delta x \Delta y} ; \\ \Phi_{11} &= \frac{1}{\frac{\partial v}{\partial z} \Big|_{z=z_1} \Delta x \Delta y} ; \end{aligned}$$

$$\text{при } \frac{\partial D}{\partial z} - v > 0 \quad \bar{C}_3 = C_3; \quad \text{при } \frac{\partial D}{\partial z} - v < 0 \quad \bar{C}_3 = 2C_1 - C_3.$$

Аналогичным образом можно составить конечно-разностные уравнения для остальных узловых точек сетки. Нетрудно заметить, что при этом число неизвестных будет равняться числу уравнений, куда входят также известные значения искомой функции или ее производных на верхней и нижней точках сетки. В правые части этих уравнений входят также из-

вестные значения искомой функции (в любой узловой точке сетки) в момент времени $t - \Delta t$. Например, для первого шага по времени значение $C^{t-\Delta t}$ определяется из начальной эпюры распределения функции $C(z, 0)$. Для второго шага расчета значение $C^{t-2\Delta t}$ определяется (берется) из первого шага расчета и т. д.

При расчетах заданными величинами являются вертикальные скорости (v), коэффициент конвективной диффузии (D), концентрация предельного насыщения (C_n), коэффициенты скорости растворения (β) и пористости грунта (n). Из конечно-разностных уравнений нетрудно также заметить, что условно обозначенная функция C^k будет равняться нулю, если $v > 0$. Если $v < 0$, то значение C^k необходимо взять равным $2C_i$ (i — значение искомой функции в соответствующих точках сетки).

Используя аналогию, которая существует между изменением концентрации жидкости в фильтрационном потоке и изменением потенциала в электрическом поле, из уравнения Кирхгофа, написанного для каждой узловой точки сетки аналогично конечно-разностным уравнениям массопереноса (12), нетрудно получить расчетные зависимости для электрических сопротивлений:

$$R_1 = \alpha_R \Phi_1; \quad R_2 = \alpha_R \Phi_2; \quad R_3 = \alpha_R \Phi_3; \quad R_4 = \alpha_R \Phi_4; \\ R_5 = \alpha_R \Phi_5; \quad R_6 = \alpha_R \Phi_6. \tag{14}$$

Значения $\Phi_1, \Phi_2, \Phi_3, \Phi_4, \Phi_5$ и Φ_6 приведены выше.

Принципиальная электрическая блок-схема расчета приведена на рис. 4. Из изложенного видно, что задача решается методом итерации.

Число дополнительных сопротивлений, подключенных в каждом узле блок-схемы (рис. 4), можно несколько уменьшить, если задача будет решаться по следующей методике [8, 9].

Представим конечно-разностные уравнения массопереноса в следующем виде:

$$\frac{C_1 - C_2}{\Phi_1} + \frac{C_2 - C_3}{\Phi_2} = \frac{C_2^t - |C_2|^{t-\Delta t}}{\Phi_1}; \\ \frac{C_2 - C_3}{\Phi_2} + \frac{C_4 - C_3}{\Phi_3} = \frac{C_3^t - |C_3|^{t-\Delta t}}{\Phi_1}; \\ \frac{C_3 - C_1}{\Phi_3} + \frac{C_4 - C_3}{\Phi_4} = \frac{C_4^t - |C_4|^{t-\Delta t}}{\Phi_1}; \tag{15}$$

$$|C_2|^{t-\Delta t} = C^{t-\Delta t} + \left[\left(\frac{\partial D}{\partial z} - v \right) \right]_{z=z_2} \frac{C_2 - C_1}{2\Delta z} - C_2 \frac{\partial v}{\partial z} \Big|_{z=z_2} + \\ + \beta (C_n - C_2) \Big| \frac{\Delta t}{n};$$

.....

.....

где

$$\Phi_1 = \frac{\Delta z^2}{D \left(\frac{\Delta z}{2} \right) \Delta x \Delta y}; \quad \Phi_2 = \frac{\Delta z^2}{D \left(\frac{3}{2} \Delta z \right) \Delta x \Delta y};$$

$$\Phi_3 = \frac{\Delta z^2}{D \left(\frac{5}{2} \Delta z \right) \Delta x \Delta y}; \quad \Phi_t = \frac{\Delta t}{n \Delta x \Delta y}.$$
(16)

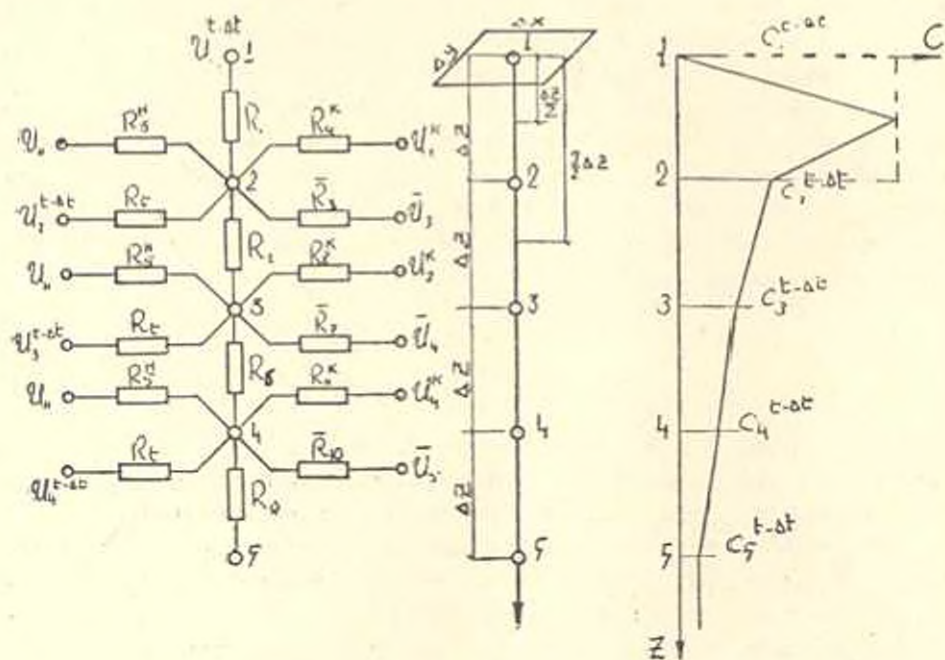


Рис. 4. Блок-схема профильной задачи по уравнениям (13).

Принципиальная электрическая блок-схема расчета для решения конечно-разностных уравнений (15) представлена на рис. 5. Из этой блок-схемы видно, что задача по второй методике также решается методом итерации, но число дополнительных сопротивлений, подключенных в каждом узле, уменьшается вдвое. Второй метод решения более универсальный.

При постоянных значениях коэффициента конвективной диффузии (D) и скоростей (V) конечно-разностное уравнение массопереноса удобно представить в следующем виде:

$$\left. \begin{aligned} \frac{C_1 - C_2}{\Phi_1} + \frac{C_2 - C_3}{\Phi_2} + \frac{C_3 - C_4}{\Phi_3} &= \frac{C_1' - C_1'^{t-\Delta t}}{\Phi_i}; \\ \frac{C_2 - C_3}{\Phi_1} + \frac{C_4 - C_2}{\Phi_2} + \frac{C_3 - C_2}{\Phi_3} &= \frac{C_3' - C_3'^{t-\Delta t}}{\Phi_i}; \\ \frac{C_2 - C_4}{\Phi_1} + \frac{C_3 - C_4}{\Phi_2} + \frac{C_3 - C_4}{\Phi_3} &= \frac{C_1' - C_1'^{t-\Delta t}}{\Phi_i}; \\ \dots & \dots \\ \dots & \dots \end{aligned} \right\} (17)$$

где

$$\Phi_1 = \frac{1}{\frac{\Delta z}{D \Delta x \Delta y} + \frac{2}{v \Delta x \Delta y}}; \quad \Phi_2 = \frac{1}{\frac{\Delta z}{D \Delta x \Delta y} + \frac{2}{v \Delta x \Delta y}};$$

$$\Phi_3 = \frac{1}{\beta \Delta x \Delta y \Delta z}; \quad \Phi_i = \frac{\Delta t}{n \Delta x \Delta y \Delta z}.$$

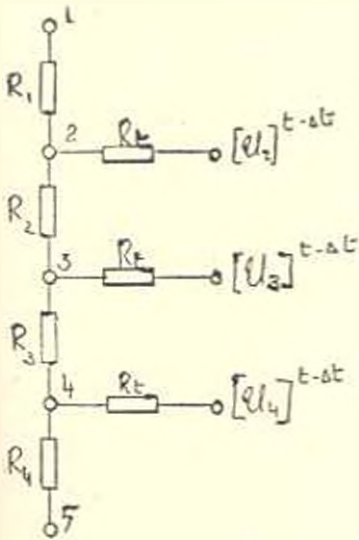


Рис. 5. Блок-схема профильной задачи по уравнениям (15).

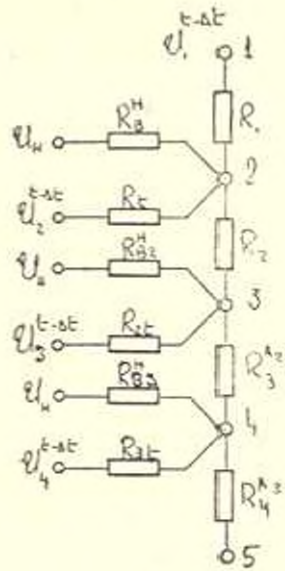


Рис. 6. Блок-схема профильной задачи по уравнениям (19).

Для составления электрической блок-схемы расчета необходимо, чтобы сопротивление от узла 2 к узлу 3 равнялось сопротивлению от узла 3 к узлу 2. Эти условия должны быть удовлетворены для любого узла сетки, т. е. от узла $(n - 1)$ к узлу n и от узла n к узлу $n - 1$. Конечно, все сказанное не относится к дополнительным сопротивлениям, подключенным в каждом узле сетки и моделирующим процессы растворения и нестационарности.

Чтобы преодолеть указанные выше трудности [11], достаточно все члены конечно-разностных уравнения помножить на некоторую постоянную величину, значение которой для каждой строки системы уравнений (17) определяется формулой

$$\lambda_n = \left(\frac{\Phi_1}{\Phi_n} \right)^{n-1} \quad (n = 1, 2, 3, \dots) \quad (18)$$

где n — номера строк конечно-разностных уравнений (17).

После осуществления этих преобразований получим расчетные формулы сопротивлений для любого узла сетки электрической блок-схемы с одновременно удовлетворяющимися условиями одинаковости гидравлических (Φ) или электрических (R) сопротивлений между узлами $n-1-n$, $n-1-n$

$$\left. \begin{aligned} \frac{C_1 - C_2}{\Phi_1} + \frac{C_3 - C_2}{\Phi_2} + \frac{C_n - C_2}{\Phi_3} &= \frac{C_2^i - C_2^{i-\Delta t}}{\Phi_1}; \\ \frac{C_2 - C_3}{\Phi_2} + \frac{C_4 - C_2}{A_2} + \frac{C_n - C_2}{B_2} &= \frac{C_2^i - C_2^{i-\Delta t}}{\Phi_2}; \\ \frac{C_3 - C_4}{A_2} + \frac{C_3 - C_4}{A_2} + \frac{C_n - C_4}{B_3} &= \frac{C_4^i - C_4^{i-\Delta t}}{\Phi_3}; \\ \dots &\dots \dots \dots \dots \dots \\ \dots &\dots \dots \dots \dots \dots \end{aligned} \right\} \quad (19)$$

где

$$\begin{aligned} A_n &= \frac{\Phi_2^n}{\Phi_1^{n-1}}; & B_n &= \Phi_n \left(\frac{\Phi_2}{\Phi_1} \right)^{n-1}; & \Phi_{ni} &= \Phi_1 \left(\frac{\Phi_2}{\Phi_1} \right)^{n-1}; \\ R_n^A &= z_n A_n; & R_n^B &= z_n B_n; & R_{ni} &= z_n \Phi_{ni}. \end{aligned} \quad (20)$$

Из изложенного нетрудно заметить, что решение дифференциального уравнения (5) с постоянными коэффициентами D , V , β , n при любых начальных и граничных условиях на универсальной сеточной модели решается без итерации.

Для иллюстрации реализации изложенного выше метода решим один частный пример при следующих исходных данных:

$$v = 0,03 \frac{\text{м}}{\text{сут}}; \quad D = 0,075 \frac{\text{м}^2}{\text{сут}}; \quad \beta = 0,018 \frac{1}{\text{сут}};$$

$$n = 0,4; \quad \Delta z = 0,5 \text{ м}; \quad \Delta x = \Delta y = 100 \text{ м}; \quad \Delta t = 10 \text{ сут}.$$

На рис. 6 приведена электрическая блок-схема расчета. Численные значения сопротивления подсчитаны по формулам (20). Результаты расчетов приведены в табл. 1 и на рис. 7, где на координатной системе $C-Z$ представлены изменения концентрации подземных вод по глубине после определенного шага Δt расчета по времени.

Таблица 1

Узлы. i	R_i^A	$R_{эл}^A$	R_{II}	Узлы. i	R_i^A	$R_{эл}^A$	R_{II}
1—2	30,5	250,0	500,0	8—9	119,0	975,8	1951,6
2—3	37,0	303,7	607,4	9—10	144,6	1185,4	2370,7
3—4	45,0	368,9	737,8	10—11	175,6	1439,9	2879,8
4—5	54,7	448,1	896,3	11—12	213,4	1749,1	3493,3
5—6	66,4	544,4	1088,7	12—13	259,3	2124,8	4249,5
6—7	80,4	661,3	1322,5	13—14	314,4	2581,1	5132,1
7—8	98,0	803,3	1606,6				

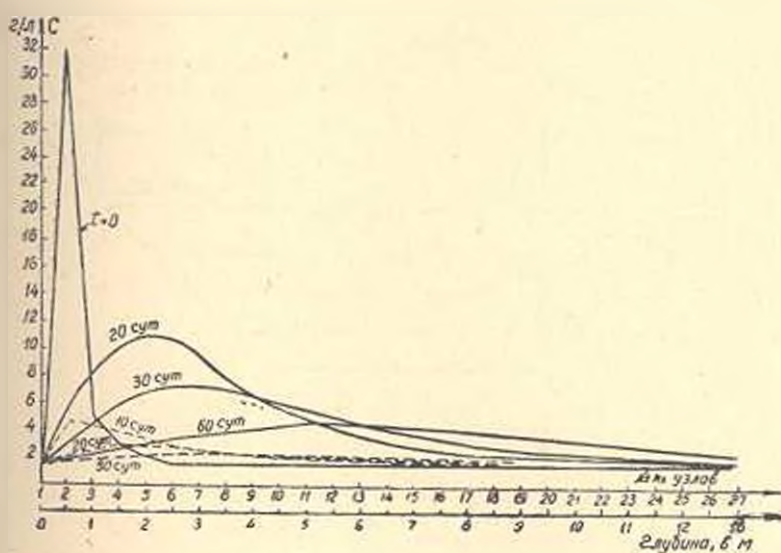


Рис. 7. Кривые $C(z, t)$, полученные из уравнения (5):
 — при $\beta = 0,018$ 1/сут; - - - при $\beta = 0$.

При расчете принято, что подача воды с поверхности земли в грунт с концентрацией $C_0 = 1,5$ г/м осуществляется с постоянной интенсивностью, т. е. капитальная промывка засоленных земель производится непрерывно.

В заключение решения профильной задачи отметим, что в дифференциальных уравнениях массопереноса слабым местом является член, выражающий процесс растворения солей. В литературе в последнее время появился ряд предложений по этому вопросу.

Изложенная методика позволяет реализовать решение дифференциальных уравнений массопереноса при любых законах процесса растворения и сорбции. Для этого целесообразно в узловые точки электрической блок-схемы подводить ток (с соответствующим знаком) пропорционально солевому расходу растворения.

Перейдем к методике решения задачи массопереноса в двухслойной фильтрующей среде на фоне вертикального дренажа на сеточной модели УСМ-1 [11].

Будем считать, что значения скоростей определены из системы дифференциальных уравнений фильтрации по изложенной выше методике. Будем считать также, что заданы коэффициенты конвективной диффузии скоростей растворения, пористости грунтов и мощности соответствующих водоносных слоев.

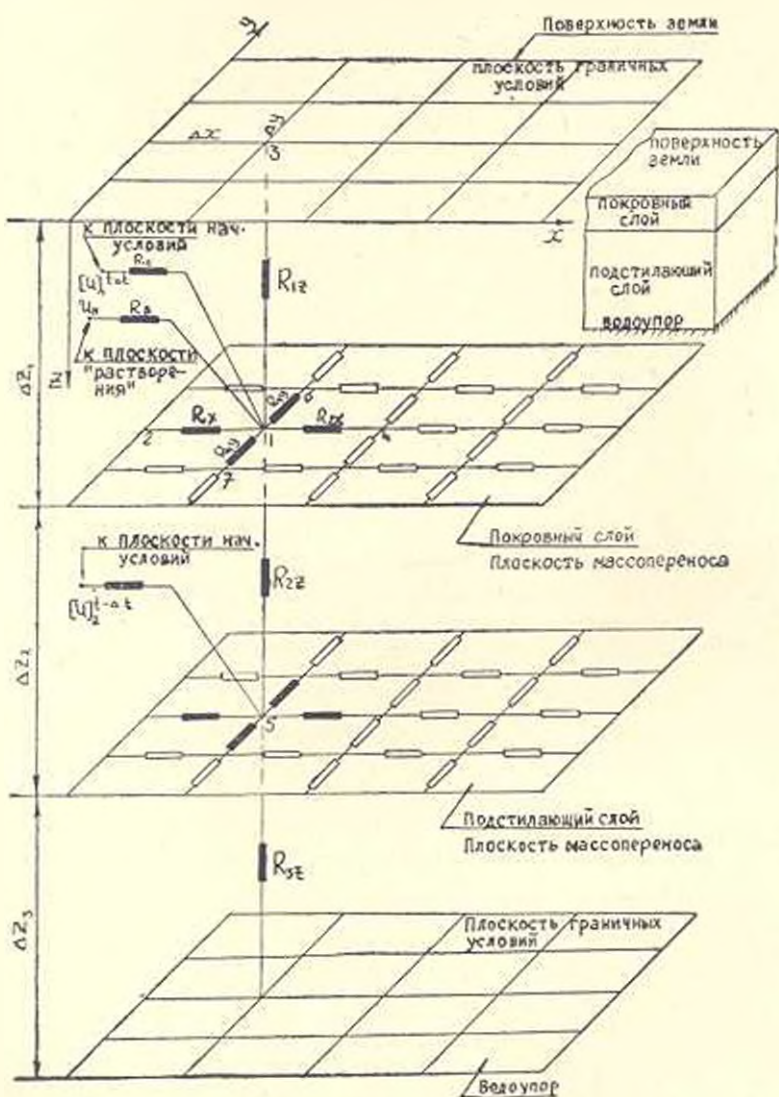


Рис. 8. Блок-схема расчета пространственной задачи массопереноса.

Дифференциальные уравнения (8) и (9) в конечно-разностном виде, например, для узлов 1; 2; 3 и 4 сетки, (рис. 9) можно представить в следующем виде:

$$\begin{aligned}
 & \frac{C_2 - C_1}{1} + \frac{C_3 - C_1}{1} + \frac{C_4 - C_1}{1} + \\
 & \frac{D(-\Delta x, y_1) \frac{\Delta x}{\Delta y}}{D(-\Delta x, y_1) \frac{\Delta x}{\Delta y}} \quad \frac{D(\Delta x, y) \frac{\Delta x}{\Delta y}}{D(\Delta x, y) \frac{\Delta x}{\Delta y}} \quad \frac{D(-\Delta y, x_1) \frac{\Delta y}{\Delta x}}{D(-\Delta y, x_1) \frac{\Delta y}{\Delta x}} + \\
 & + \frac{C_3 - C_1}{1} + \frac{C_n - C_1}{1} + \frac{n - C_1}{1} + \\
 & \frac{D(\Delta y, x_1) \frac{\Delta y}{\Delta x}}{D(\Delta y, x_1) \frac{\Delta y}{\Delta x}} \quad \frac{\beta \Delta x \Delta y}{\beta \Delta x \Delta y} \quad \left(\frac{\partial v_x}{\partial x} + \frac{\partial v_y}{\partial y} \right) \Big|_{x, y} \Delta x \Delta y \\
 & \dots \dots \dots \\
 & + \frac{C_1^I - C_1^{II}}{m} = \frac{C_1^I - C_1^{I-M}}{n \Delta x \Delta y} ; \\
 & \frac{C_1^I - C_1^{II}}{v_x \Delta x \Delta y}
 \end{aligned} \tag{21}$$

Конечно-разностные уравнения для моделирования массопереноса удобно представить в таком виде, как обычно записывается уравнение Кирхгофа для плотностей электрического поля, т. е.

$$\begin{aligned}
 & \frac{C_2 - C_1}{\Phi_1} - \frac{C_3 - C_1}{\Phi_2} + \frac{C_4 - C_1}{\Phi_3} + \frac{C_5 - C_1}{\Phi_4} + \frac{C_n - C_1}{\Phi_n} + \\
 & + \frac{C_1^I - C_1^{II}}{\Phi_2} = \frac{C_1^I - C_1^{I-M}}{\Phi_1}
 \end{aligned} \tag{22}$$

где

$$\begin{aligned}
 \Phi_1 &= \frac{1}{D(-\Delta x, y_1) \frac{\Delta x}{\Delta y}} ; & \Phi_2 &= \frac{1}{D(\Delta x, y) \frac{\Delta x}{\Delta y}} ; \\
 \Phi_3 &= \frac{1}{D(-\Delta y, x_1) \frac{\Delta y}{\Delta x}} ; & \Phi_4 &= \frac{1}{D(\Delta y, x_1) \frac{\Delta y}{\Delta x}} ; \\
 \Phi_n &= \frac{1}{(A + \beta) \Delta x \Delta y} ; & \bar{C}_n &= \frac{\beta C_n}{A + \beta} ; & A &= \left(\frac{\partial v_x}{\partial x} + \frac{\partial v_y}{\partial y} \right)_{x, y} ; \\
 \Phi_x &= \frac{m}{v_x \Delta x \Delta y} ; & \Phi_y &= \frac{\Delta t}{n \Delta x \Delta y} .
 \end{aligned} \tag{23}$$

Необходимо отметить, что в процессах массопереноса гидравлическая связь между двумя водоносными слоями в приведенных выше уравнениях описывается выражением

$$\frac{C_1^I - C_1^{II}}{\Phi_2} \tag{24}$$

где C_1^I и C_1^{II} — концентрации грунтовых вод в соответствующих точках верхней и нижней сетки. Аналогичные конечно-разностные уравнения можно составить и для любого узла сетки.

Связь между гидравлическими (Φ) и электрическими (R) сопротивлениями устанавливается из условия подобия, которое существует между уравнениями массопереноса и Кирхгофа. Принципиальная электрическая блок-схема расчета представлена на рис. 9. Электрические сопротивления подсчитываются по формулам (23).

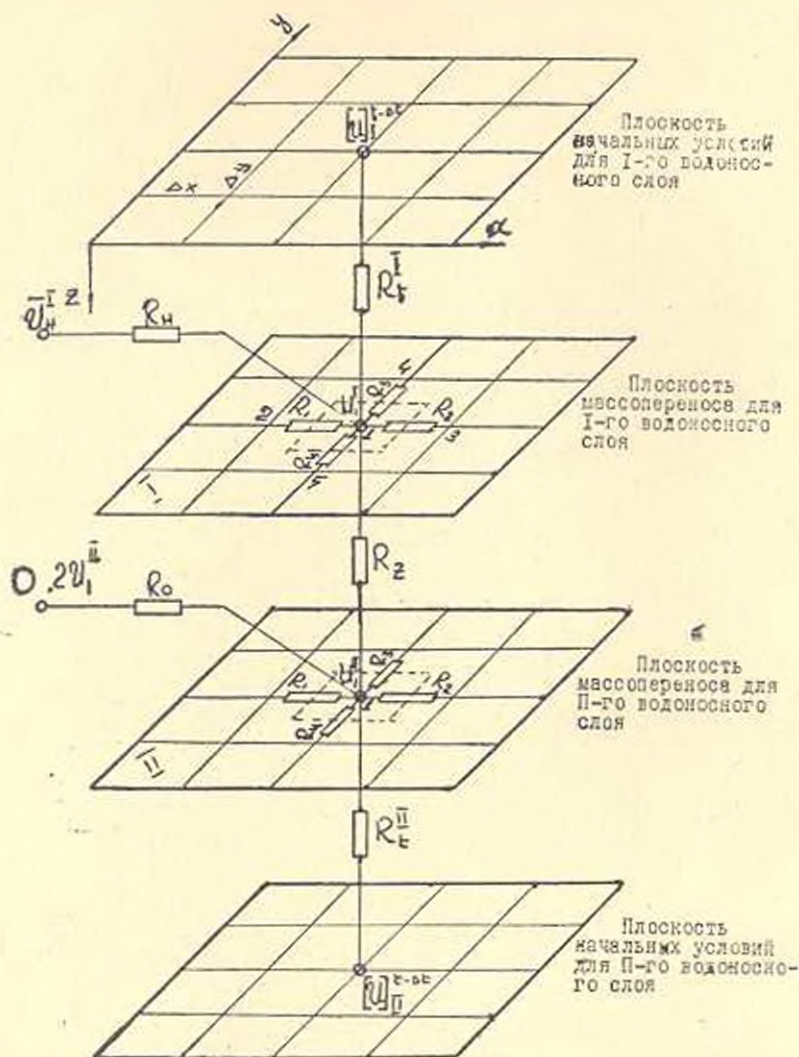


Рис. 9. Блок-схема плано-пространственной задачи по уравнениям (23).

Начальные условия решения конечно-разностных уравнений массопереноса после каждого шага расчета по времени определяются из профильной задачи по изложенному выше методу. Граничные условия можно принимать любые. Из изложенного видно, что задача в целом решается методом итерации. Значение неизвестной функции S_i (или потенциала в соответствующих точках сетки) определяется методом подбора.

В заключение необходимо изложить более точную методику решения пространственной задачи массопереноса, которая на аналоговой машине УСМ-1 осуществляется следующим образом.

Дифференциальное уравнение массопереноса, начальные и граничные условия для пространственной задачи можно представить так:

$$\frac{\partial}{\partial x} \left(D \frac{\partial C}{\partial x} \right) + \frac{\partial}{\partial y} \left(D \frac{\partial C}{\partial y} \right) + \frac{\partial}{\partial z} \left(D \frac{\partial C}{\partial z} \right) - \frac{\partial (v_x C)}{\partial x} - \frac{\partial (v_y C)}{\partial y} - \frac{\partial (v_z C)}{\partial z} + \beta (C_{II} - C) = n \frac{\partial C}{\partial t}; \quad (25)$$

при $t = 0$

$$C(x, y, z, t) = C(x, y, z, 0); \quad (26)$$

при $t > 0$

$$z = 0; \quad C(x, y, z, t) = C_0(x, y, t); \quad z = T; \quad \frac{\partial C}{\partial z} = 0; \quad (27)$$

на боковых контурах

$$C(x, y, z, t) = C^0(x_0, y_0, z, t). \quad (28)$$

В конечно-разностном виде дифференциальное уравнение (25), например, для узла 1 (рис. 8) можно представить так:

$$\begin{aligned} & \bar{D}_2 \frac{\Delta y \Delta z}{\Delta x} (C_2 - C_1) + \bar{D}_4 \frac{\Delta y \Delta z}{\Delta x} (C_4 - C_1) + \bar{D}_6 \frac{\Delta x \Delta z}{\Delta y} (C_6 - C_1) + \\ & + \bar{D}_7 \frac{\Delta x \Delta z}{\Delta y} (C_7 - C_1) + \bar{D}_3 \frac{\Delta x \Delta y}{\Delta z} (C_3 - C_1) + \bar{D}_5 \frac{\Delta x \Delta y}{\Delta z} (C_5 - C_1) + \\ & + \beta (C_{II} - C_1) \Delta x \Delta y \Delta z = \left(\bar{v}_x \frac{C_4 - C_2}{2 \Delta x} + \bar{v}_y \frac{C_6 - C_7}{2 \Delta y} + \right. \\ & \left. + \bar{v}_z \frac{C_3 - C_5}{2 \Delta z} \right) \Delta x \Delta y \Delta z = n \frac{C_1^t - [C_1]^{t-\Delta t}}{\Delta t} \Delta x \Delta y \Delta z, \quad (29) \end{aligned}$$

где \bar{D}_i и \bar{v}_i — средние значения коэффициента конвективной диффузии и скоростей фильтрации между соответствующими узловыми точками сетки. Уравнение (29) удобно представить в виде уравнения Кирхгофа:

$$\begin{aligned} & \frac{C_2 - C_1}{\Phi_{1x}} + \frac{C_4 - C_1}{\Phi_{2x}} + \frac{C_6 - C_1}{\Phi_{1y}} + \frac{C_7 - C_1}{\Phi_{2y}} + \frac{C_3 - C_1}{\Phi_{1z}} + \frac{C_5 - C_1}{\Phi_{2z}} + \\ & + \frac{C_{II} - C_1}{\Phi_i} = \frac{C_1^t - [C_1]^{t-\Delta t}}{\Phi_1}, \quad (30) \end{aligned}$$

где

$$|C_1|^{t-\Delta t} = C^{t-\Delta t} + \left(\bar{v}_x \frac{C_4 - C_2}{2\Delta x} + \bar{v}_y \frac{C_6 - C_2}{2\Delta y} + \bar{v}_z \frac{C_2 - C_3}{2\Delta z} \right) \frac{\Delta t}{n} \Delta x \Delta y \Delta z;$$

$$\Phi_{1x} = \frac{\Delta x}{D_2 \Delta y \Delta z}; \quad \Phi_{2x} = \frac{\Delta x}{D_4 \Delta y \Delta z}; \quad \Phi_{1y} = \frac{\Delta y}{D_6 \Delta x \Delta z};$$

$$\Phi_{2y} = \frac{\Delta y}{D_7 \Delta x \Delta z}; \quad \Phi_{1z} = \frac{\Delta z}{D_3 \Delta x \Delta y}; \quad \Phi_{2z} = \frac{\Delta z}{D_5 \Delta x \Delta y};$$

$$\Phi_t = \frac{\Delta t}{n \Delta x \Delta y \Delta z}; \quad \Phi_s = \frac{1}{\beta \Delta x \Delta y \Delta z}.$$
(31)

По принятым масштабным коэффициентам α_R , α_U и α_f электрические сопротивления R_x , R_y , R_z и R_t вычисляются по формулам:

$$R_x = \alpha_R \Phi_x; \quad R_y = \alpha_R \Phi_y; \quad R_z = \alpha_R \Phi_z; \quad R_t = \alpha_R \Phi_t.$$

На рис. 8 приведена принципиальная блок-схема расчета. Чтобы не затемнять чертеж, на рис. 8 сопротивление показано для одного узла. В действительности все узлы сетки будут иметь различные сопротивления в зависимости от численных значений коэффициентов конвективной диффузии, скоростей фильтрации и шага Δx , Δy , Δz . На рис. 9 не показаны сеточные плоскости, моделирующие начальные условия массопереноса в покровном и подстилающем слоях, а также сеточная плоскость, моделирующая процесс растворения солей из твердой фазы в жидкую.

Все узловые точки сетки плоскости начальных условий и растворения через сопротивления R_{11} , R_{21} , R_3 соединены с соответствующими узловыми точками сетки покровного и подстилающего слоев, моделирующими процессы массопереноса.

При решении пространственной задачи, кроме граничных условий на контуре плоскости x , y , необходимо задаваться также граничными условиями на плоскостях, перпендикулярных оси z . Поэтому при решении пространственной задачи число коммутационных досок (число плоскостей) необходимо брать на две единицы больше (по сравнению с плоско-пространственной задачей).

При решении конкретной задачи на плоскости $z = 0$ задавалось значение концентрации оросительной воды.

На нижней плоскости, т. е. $z = T$, задавалось условие $\frac{\partial C}{\partial z} = 0$.

По изложенному методу нами решена одна типовая задача. Результаты решения будут опубликованы отдельно.

Необходимо только отметить, что процесс итерации [это связано с моделированием правой части уравнения (30)] при решении пространственной задачи несколько усложняется, а точность расчета, наоборот, несколько повышается.

Из изложенного видно, что только методом математического моделирования можно учитывать любые сложные условия местности. Например, при решении конкретной задачи нами учтены изменения в пространстве мощностей водоносных слоев, коэффициентов фильтрации, конвективной диффузии, скоростей фильтрации и т. д.

Отметим, что результаты расчетов дали возможность определять во времени и в пространстве изменения минерализации подземных вод в двухслойной фильтрующей среде при капитальных промывках засоленных земель в покровной толще. Полученные результаты позволили также прогнозировать изменения во времени и в пространстве минерализации подземных вод в подстиляющем слое, а также определить изменения во времени минерализации откаченных вод из скважины. Эти результаты использованы для разработки технологии капитальных промывок на больших орошаемых площадях.

ЕрПИ им. К. Маркса

Поступило 26.IX.1977.

Ս. Ա. ԱՆԱՆՅԱՆ, Ա. Կ. ԱՆԱՆՅԱՆ

**ՍՏՈՐԵԿՐՅԱԿ ԶԻՐԵՐԻ ՓԱՇԱՐՆԵՐԻ ՈՐՈՇՈՒՄԸ ՀԻՊՐՈԴԻՆԱՄՈՒԿԱԿԱՆ
ՄԵԹՈԴՈՎ ՀԱՇՎԻ ԱՌՆԵՂՈՎ ՆՐԱՆՑ ՈՐԱԿԻ ՓՈՓՈԿՈՒՄԸ
ՄԱԿԵՐԵՎՈՒՅԹԱՅԻՆ ՀՈՍԲԵՐԻՑ**

Ո Վ Փ Ո Փ Ո Ւ Մ

Հոդվածում քննարկված է ֆիլտրացիայի մասսատեղափոխման դիֆերենցիալ հավասարումների լուծման մեթոդները անալոգային մեքենաների օգնությամբ: Խոսված են մի շարք խնդիրներ, որոնք վերաբերվում են Արարատյան դաշտավայրի ստորերկրյա ջրերի պաշարների որոշմանը և աղուտների օգտագործման հարցերին:

Л И Т Е Р А Т У Р А

1. *Оганезов Г. Г.* Подземные воды Араратской равнины. Арм. гос. изд-во. Ереван, 1958.
2. *Гидрогеология СССР, том XI.* Армянская ССР. Изд-во «Недра», М., 1968.
3. *Ананян А. К.* Дренаж при освоении содовых солончakov Араратской равнины. Изд-во «Колос», М., 1972.
4. *Ананян А. К., Венгерянович Р. А.* О математической модели для исследования комплекса вопросов по динамике подземных вод. «Водные ресурсы», № 3, изд-во АН СССР, М., 1974.
5. *Инструкция по проектированию оросительных систем. Часть VIII: Дренаж на орошаемых землях.* М., 1975.
6. *Либман.* Новый метод электрической аналогии для решения нестационарных задач теплопроводности. *Механика* 3(43), сб. переводов и обзоров иностранной периодической лит-ры, М., 1957.

7. *Веригин Н. Н., Шертунов Б. С., Шапинская Г. Н.* К расчету промывания засоленных почв. Труды координационного совещания по гидротехнике, вып. 35, изд-во «Энергия», М., 1967.
8. *Ганявкин Г. Г., Крашин И. И.* Моделирование процессов массо- и теплопереноса в подземных водах на аналогово-цифровом вычислительном комплексе. Материалы межведомственного совещания по мелиоративной гидрологии и инж. геологии. ММСМГиИГ, вып. 1, ч. 1, М., 1972.
9. *Лившиц В. М., Романец Б. Н., Чертков Л. М.* К вопросу прогнозирования засоленности почвогрунтов орошаемых массивов методом математического моделирования, ММСМГиИГ, вып. 1, ч. 1, М., 1962.
10. *Трофимов В. В., Трофимова О. Ф.* Моделирование перемещения солей в почвогрунтах, содержащих тупиковые поры, методом Либманга. ММСМГиИГ вып. 1, ч. 1, М., 1962.
11. *Николаев Н. С., Коллов Э. С., Полгородник Н. П.* Аналоговая математическая машина УСМ-1. М., 1962.

ГИДРАВЛИКА

Р. М. РАФАЭЛЯН, Р. С. АВЕТИСЯН

К РАСЧЕТУ ПЕРЕХОДНОГО ПРОЦЕССА В НАГНЕТАТЕЛЬНОМ ТРУБОПРОВОДЕ ПРИ ОТКЛЮЧЕНИИ ПРИВОДА НАСОСА

В практике проектирования нагнетательных трубопроводов часто возникает необходимость оперативной оценки величин возможных скоростей и давлений, возникающих при отключении привода насоса.

Известно, что переходные процессы, возникающие в этом случае в системе насос-трубопровод, описываются уравнениями следующего вида:

$$\left. \begin{aligned} -\frac{\partial P}{\partial x} &= \rho \left[\frac{\partial v}{\partial t} + \frac{\lambda |v|}{8\delta} v \right]; \\ -\frac{\partial P}{\partial t} &= \rho c^2 \frac{\partial v}{\partial x}; \\ J \frac{d\omega}{dt} &= M_d - M_c, \end{aligned} \right\} \quad (1)$$

где P — приведенное давление; V — средняя по сечению скорость жидкости; ρ — плотность жидкости; c — скорость распространения волны возмущения; λ — коэффициент гидравлического сопротивления; δ — гидравлический радиус потока; J — момент инерции; ω — угловая скорость; M_d и M_c — движущий момент и момент сопротивления.

Решение системы (1) связано со значительными трудностями.

Как указывается в [1] при расчете переходных процессов в коротких водоводах $\left(\frac{T_a}{t_\Phi} > 1 \right)$, где T_a — постоянная времени насосного агрегата;

t_Φ — фаза гидравлического удара) при отсутствии обратного клапана

можно пренебречь влиянием упругости стенок трубопровода и жидкости. Это допущение существенно упрощает процесс расчета.

В этом случае уравнения движения несжимаемой жидкости в системе представляются в виде:

$$\left. \begin{aligned} \frac{dq}{d\tau} &= Aq^2 + Bq\tau + C\tau^2 + D; \\ \frac{T_a}{T_l} \cdot \frac{d\tau}{d\tau} &= A_1q^2 + B_1q\tau + C_1\tau^2; \end{aligned} \right\} \quad (2)$$

где $q = \frac{Q}{Q_0}$; $\tau = \frac{\omega}{\omega_0}$; $z = \frac{P}{P_0}$; $\tau = \frac{t}{T_l}$; T_l — постоянная времени трубопровода; Q_0 , ω_0 , P_0 — значения расхода, угловой скорости и давления при установившемся режиме работы насоса.

Изменение давления у насоса в насосном, тормозном и турбинном режимах дается соотношением:

$$z = A_0\tau^2 + B_0q\tau + C_0q^2 + D_0. \quad (3)$$

Постоянные коэффициенты, входящие в уравнения (2) и (3), определяются для каждого режима с помощью четырех квадрантных характеристик:

$$\begin{aligned} \frac{H}{n^2} &= f_1\left(\frac{Q}{n}\right); & \frac{H}{Q^2} &= f_2\left(\frac{n}{Q}\right); \\ \frac{M}{n^2} &= f_3\left(\frac{Q}{n}\right); & \frac{M}{Q^2} &= f_4\left(\frac{n}{Q}\right). \end{aligned}$$

путем аппроксимации последних параболическими кривыми.

В работе [2] доказывается, что после отключения электропитания привода насоса изменение числа оборотов рабочего колеса до подхода к насосу отраженных волн гидравлического удара может быть определено по зависимости

$$\tau = \frac{\omega}{\omega_0} = \frac{T_a}{t + T_a}. \quad (4)$$

Однако с учетом допущения о несжимаемости стенок трубопровода и жидкости полагаем соотношение (4) действительным до момента наступления тормозного режима.

Используя формулу (4) для исключения неизвестной функции $\tau(t)$ из первого уравнения системы (2), получим следующее нелинейное дифференциальное уравнение:

$$\frac{dq}{d\tau} = Aq^2 + \frac{BT_a}{T_a + T_l\tau} q + \frac{CT_a^2}{(T_a + T_l\tau)^2} + D. \quad (5)$$

Уравнение (5) решается методом последовательных приближений [3]. Заменяя уравнение (5) интегральным уравнением

$$q_n = 1 + \int_0^{\tau} \left[Aq_{n-1}^2 + \frac{BT_a}{T_a + T_l\tau} q_{n-1} + \frac{CT_a^2}{(T_a + T_l\tau)^2} + D \right] d\tau, \quad (6)$$

для первого приближения удовлетворяющим начальному условию

$$z = 0 \quad q = q_0 = 1.$$

получим

$$q = 1 + (A + D)z + \frac{BT_0}{T_1} \ln \frac{T_0 + T_1 z}{T_0} + \frac{CT_0 z}{T_0 + T_1 z}. \quad (7)$$

Аналогично определяются второе и последующие приближения. Отметим, что сопоставление результатов расчета по уравнению (7) с точными решениями (1) на ЭВМ показало практическую приемлемость первого приближения.

Уравнение (7) определяет изменение скорости жидкости в трубопроводе в насосном режиме и может служить для оценки влияния постоянных системы T_1 и T_2 на переходный процесс.

Определяя из (4) и (7) η и q для соответствующих моментов времени и подставляя их значения в (3), вычисляется давление до наступления тормозного режима.

В тормозном режиме переходный процесс рассчитывается по рекуррентным формулам, полученным из (2) и (3) путем перехода к конечным разностям:

$$\begin{aligned} q_n &= (Aq_{n-1}^2 + Bq_{n-1}\tau_{n-1} + C\tau_{n-1}^2 + D)\Delta z + q_{n-1}; \\ \tau_n &= \frac{T_1}{T_0} (A_1q_{n-1}^2 + B_1\tau_{n-1}q_{n-1} + C_1\tau_{n-1}^2)\Delta z + \tau_{n-1}; \\ \tau_n &= A_0\tau_n^2 + B_0\tau_n q_n + C_0q_n^2 + D_0. \end{aligned} \quad (8)$$

В турбинном режиме, в случае неизменного статического напора установки, имеет место затухающее периодическое изменение во времени угловой скорости и расхода, что вызывает колебание давления.

Изменения расхода $Q(t)$ и угловой скорости $\omega(t)$ в турбинном режиме рассчитываются по уравнениям:

$$\begin{aligned} Q - Q_* &= e^{\alpha t} (C_1 \cos \Omega t + C_2 \sin \Omega t); \\ \omega - \omega_* &= e^{\alpha t} (C_3 \cos \Omega t + C_4 \sin \Omega t); \end{aligned} \quad (9)$$

где α и Ω — действительная и мнимая части корней характеристического уравнения, соответствующего (2);

ω_* , Q_* — предельные значения $\omega(t)$ и $Q(t)$ при $t \rightarrow \infty$, способ определения которых приводится в [5].

На рис. 1 представлены результаты некоторых расчетов, выполненных по уравнениям (1) на ЭВМ методом характеристик и по уравнениям (7), (8) и (9) вручную.

Сопоставление приведенных результатов показывает практическую приемлемость излагаемых соотношений для расчетов переходных процессов, вызванных отключением привода насоса в коротких водах.

Значения η и q , при которых давление $\xi(\tau)$ достигает экстремальных величин, определяются из (3) при условии $\frac{d\xi}{d\tau} = 0$.

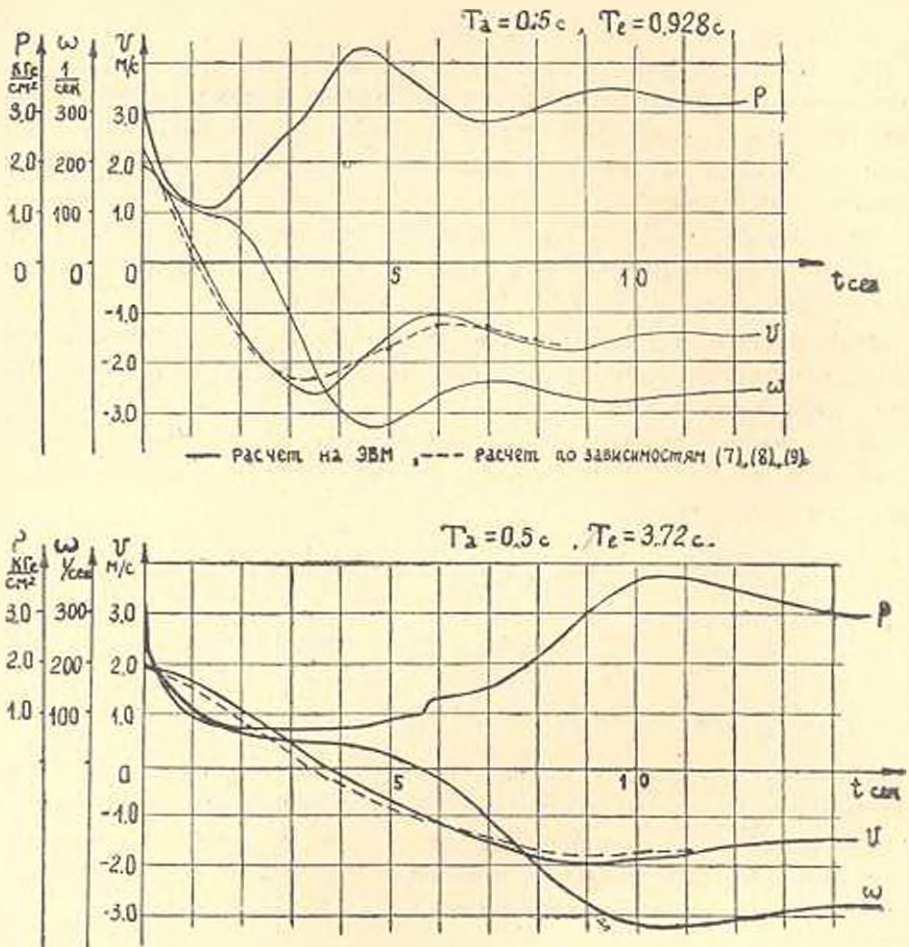


Рис. 1. Графики переходного процесса насоса 4К-12.

Вычислив производную функции $\xi(\tau)$ и используя выражение $\frac{d\eta}{d\tau}$ и $\frac{dq}{d\tau}$, из системы (2) получим, что значения η и q , при которых функция $\xi(\tau)$ достигает экстремумов, связаны соотношением:

$$\begin{aligned} & \left(2A_0C_1 \frac{T_1}{T_a} + B_0C\right) \eta^4 + \left(2A_0B_1 \frac{T_1}{T_a} + B_0C_1 \frac{T_1}{T_a} + B_0B + 2C_0C\right) q \eta^2 + \\ & + \left(2A_0A_1 \frac{T_1}{T_a} + B_0B_1 \frac{T_1}{T_a} + B_0A + 2BC_0\right) q^2 \eta + \left(B_0A_1 \frac{T_1}{T_a} + 2AC_0\right) q^3 + \\ & + B_0D\eta + 2C_0Dq = 0. \end{aligned} \quad (10)$$

В параметрическом представлении $\eta = uq$ соотношение (11) примет вид:

$$q = - \sqrt{\frac{-2C_0D - B_0Du}{Mu^3 + Nu^2 + Pu + R}}, \quad (11)$$

где u — параметр:

$$M = 2A_0C_1 \frac{T_1}{T_a} + B_0C; \quad N = 2A_0B_1 \frac{T_1}{T_a} + B_0C_1 \frac{T_1}{T_a} + B_0B + 2C_0C;$$

$$P = 2A_0A_1 \frac{T_1}{T_a} + B_0B_1 \frac{T_1}{T_a} + B_0A + 2BC_0; \quad R = B_0A_1 \frac{T_1}{T_a} + 2AC_0.$$

На основании полученных зависимостей (3) и (11) построена номограмма для определения угловой скорости и расхода, соответствующих экстремальным давлениям в турбинном режиме (рис. 2). Приведенной кривой $\eta = j(q)$ принадлежит разделяющая точка F с координатами τ_{*} и q_{*} , являющаяся особой точкой типа устойчивого фокуса системы дифференциальных уравнений (2).

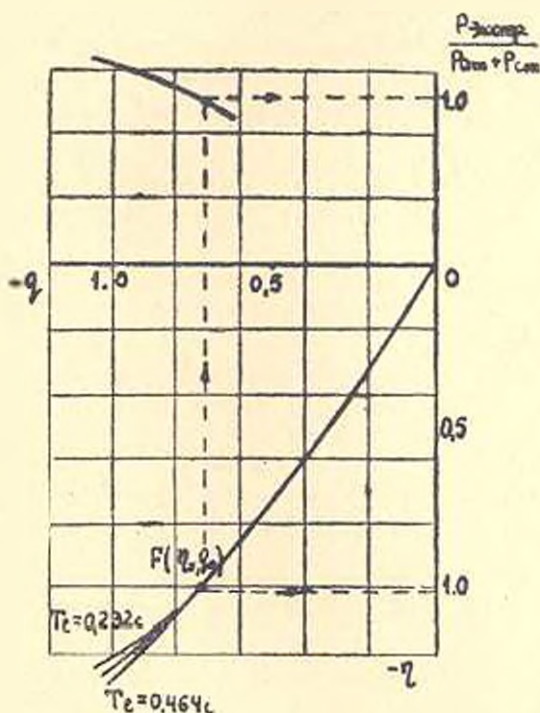


Рис. 2. Номограмма экстремальных давлений.

В турбинном режиме точки кривой с координатами $\tau > \tau_{*}$ и $q > q_{*}$ соответствуют максимальным давлениям, а $\tau < \tau_{*}$ и $q < q_{*}$ — минимальным давлениям в трубопроводе.

Как показала серия расчетов на ЭВМ при различных T_d и T_t , максимальные и минимальные давления близки по фазе с соответствующими значениями угловой скорости.

Это позволяет, исходя из величины разгонных оборотов насоса в зависимости от быстроходности n , [4], используя номограмму, определить значение η и экстремальное давление $P_{\text{экстр}}$ в трубопроводе.

Институт водных проблем и гидротехники
ММиВХ АрмССР

Поступило 25.IV.1977

Ռ. Մ. ՌԱՖԱԵԼՅԱՆ, Ր. Ս. ԱՎԵՏԻՍՅԱՆ

ՄՂԻԶ ԽՈՂՈՎԱԿԱՇԱՐՈՒՄ ԳՈՄՊԻ ՀԱՂՈՐԳԱԿԻ ԱՆՁԱՏՄԱՆ
ԱՆՑՈՂԻԿ ՊՐՈՑԵՍԻ ՀԱՇՎԱՐԿԻ ՇՈՒՐՋԸ

Ա. մ. փ. ո. փ. ո. լ. մ.

Պոմպային կայանների հիդրոմեխանիկական սարքավորումների ընտրության ժամանակ հաճախ անհրաժեշտություն է առաջանում ղնահատել հնարավոր ճնշումների և արագությունների մեծությունները անցողիկ պրոցեսում:

Մղիչ կարճ խողովակաշարում հետադարձ փականի բացակայության դեպքում այդ մեծությունների հաշվարկի համար հողվածում առաջարկվում են պարզեցված կախումներ:

Ջրանիվային ուժիմում առաջացած մաքսիմալ և մինիմալ ճնշումները որոշելու համար բերվում է նոմոգրամ:

Л И Т Е Р А Т У Р А

1. Герасимов Г. Г. Расчет и исследования процессов в насосных установках с короткими водоводами. Диссертационная работа, Ровно, 1973.
2. Мошник Л. Ф., Тимофеева Е. Т. Указания по защите водоводов от гидравлического удара. М., Госстройиздат, 1961 (ВОДГЕО).
3. Степанов В. В. Курс дифференциальных уравнений. М., 1959.
4. Находкин Б. И. Крутовая характеристика насоса. «Гидротехника и мелiorация» № 6, 1956.
5. Рафаэлян Р. М. Исследование неустановившегося движения в системе насос—трубопровод. «Известия АН АрмССР, серия технич. наук», т. XXVIII, № 6, 1975.

Объемная деформация стружки, как показатель определения обрабатываемости. Касьян М. В., Багдасарян Г. Б., Арауманян А. М. «Известия АН АрмССР (серия Т. II.)», т. XXX, № 5, 1977, 5—11.

Показано, что при уменьшении скорости или увеличении глубины резания возможен переход от сплошной стружки к стружке надлома с возникновением трещины у режущей кромки. Кроме того, показано, что форма стружки в основном зависит от величины m и K .

Опытами установлено, что чем меньше отношение m/K , тем тоньше стружка и тем меньше ее объемная деформация. Следовательно, увеличивается стойкость реза, уменьшаются силы резания и вероятность трещинообразования в материале в зоне контакта, при этом улучшается чистота поверхности и, по-видимому, отношение m/K можно считать характеристикой обрабатываемости.

Авторы предлагают отношение m/K считать новым критерием оптимизации режимов резания наравне с объемной деформацией стружки. Кроме того, установлено, что между объемной деформацией ϵ_v и отношением m/K есть определенная взаимосвязь. Методом линейного программирования определены оптимальные значения v , s , f , а также взаимосвязь между ϵ_v и m/K . Установлено, что по объемной деформации стружки можно судить об обрабатываемости резания.

Илл. 1. Табл. 3. Библ. 7 назв.

Исследования алгоритмов решения уравнений установившегося режима электрической системы. Адоц Г. Г. «Известия АН АрмССР (серия Т. II.)», т. XXX, № 5, 1977, 12—17.

Рекомендуются решения уравнений установившегося режима эквивалентных и открытых (неэквивалентных) схем.

Библ. 1 назв.

Об одной вариационной задаче о прижатии слоя к основанию при учете реологических свойств материала. Задоян М. А. «Известия АН АрмССР (серия Т. II.)», т. XXX, № 5, 1977, 18—33.

Приводится приложение вариационных методов теории ползучести и пластичности к плоской и осесимметричной задачам о прижатии сосредоточенной силой полосы из упруго-ползучего и пластически упрочняющегося материала к упруго-ползучему основанию. Контакт между слоем и основанием считается без сцепления с неизвестными и переменными во времени границами. Материал основания считается упруго-ползучим, подчиняющимся уравнениям наследственной теории ползучести Маслова—Арутюняна.

Илл. 4. Библ. 20 назв.

УДК 556.3

Гидродинамические методы определения эксплуатационных запасов подземных вод с учетом изменения их качества под влиянием поверхностных вод. Анапян С. А., Анапян А. К. «Известия АН АрмССР (серия Т. Н.)», т. XXX, № 5, 1977, 34—54.

Излагаются гидродинамические основы определения эксплуатационных запасов подземных вод и способы их рационального использования для различных нужд, а также методика прогноза изменения качества подземных вод под влиянием поверхностных загрязняющих источников. К этим задачам отнесены гидродинамические методы расчета пополнения подземных вод в межгорных впадинах. Перечисленные задачи решены применительно к межгорным впадинам на примере Араратской равнины АрмССР. Илл. 9. Табл. 1. Библ. 11 назв.

УДК 532.595.2.001.24

К расчету переходного процесса в нагнетательном трубопроводе при отключении привода насоса. Радвалян Р. М., Аветисян Р. С. «Известия АН АрмССР (серия Т. Н.)», т. XXX, № 5, 1977, 55—60.

При выборе гидромеханического оборудования насосных станций часто возникает необходимость оценки величин возможных давлений и скоростей воды в переходном процессе. В работе предлагаются упрощенные зависимости для расчета этих величин при отсутствии обратного клапана на коротком нагнетательном трубопроводе. Приводится номограмма для определения максимальных и минимальных давлений, возникающих в турбинном режиме.

Илл. 2. Библ. 5 назв.

Մեքենաօրոշում

Մ. Վ. Կասյան, Է. Ռ. Ռադոսնաբյան, Ա. Մ. Արզումանյան. Տարբեր խափումների զննարկման արդյունքների մշակման մասին 3

Էներգետիկա

Վ. Ց. Աղանյ. Էլեկտրական համակարգի հաստատուն անթմաների հաճախությունների լուծման ալգորիթմների հետազոտություններ 12

Շինարարական մեխանիկա

Մ. Ա. Զաղոյան. Հիմնատակերի սեղմված շերտի մի վարիացիան ինդերի վերաբերյալ հարված առանց ելուծի սեպտորիան հետազոտություններ 18

Հիդրավիկա

Ս. Ա. Անանյան, Ա. Կ. Անանյան. Ուսարկերյու ջրերի պարարների արտադր հիդրոգիտամիական մեթոդով հարված առանց ելուծի արակի փոփոխումը մակերևույթային հոսքերից 34

Ռ. Մ. Ռուֆայելյան, Ի. Ա. Ավետիսյան. Մոլի խողովակաշարում պոմպի հազարական անհատան անցողիկ պրոցեսի հարվածի շարժ 35

СО Д Е Р Ж А Н И Е

Машиностроение

М. В. Касьян, Г. Б. Багдасарян, А. М. Арзуманян. Объемная деформация стружки, как показатель определения обрабатываемости 5

Энергетика

В. Ц. Агванц. Исследования алгоритмов решения уравнении установившегося режима электрической системы 12

Строительная механика

М. А. Задоян. Об одной вариационной задаче о прижатии слоя к основанию при учете реологических свойств материалов 18

Гидравлика

С. А. Анянян, Լ. Կ. Անանյան. Гидродинамические методы определения эксплуатационных запасов подземных вод с учетом изменения их качества под влиянием поверхностных источников 31

Ր. Մ. Րաֆայելյան, Ր. Ս. Ամետիսյան. К расчету переходного процесса в магнетательном трубопроводе при отключении привода насоса 35

